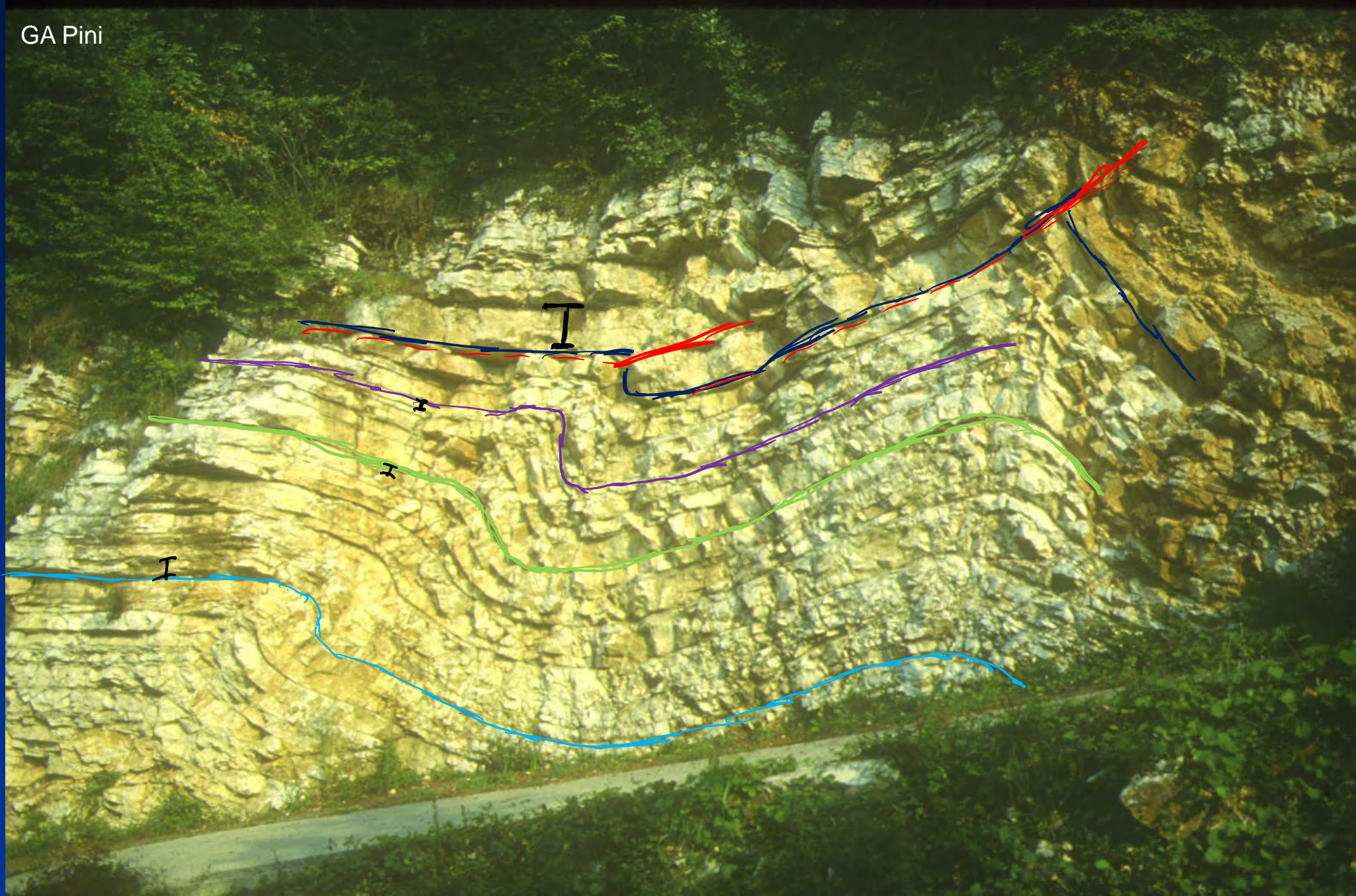
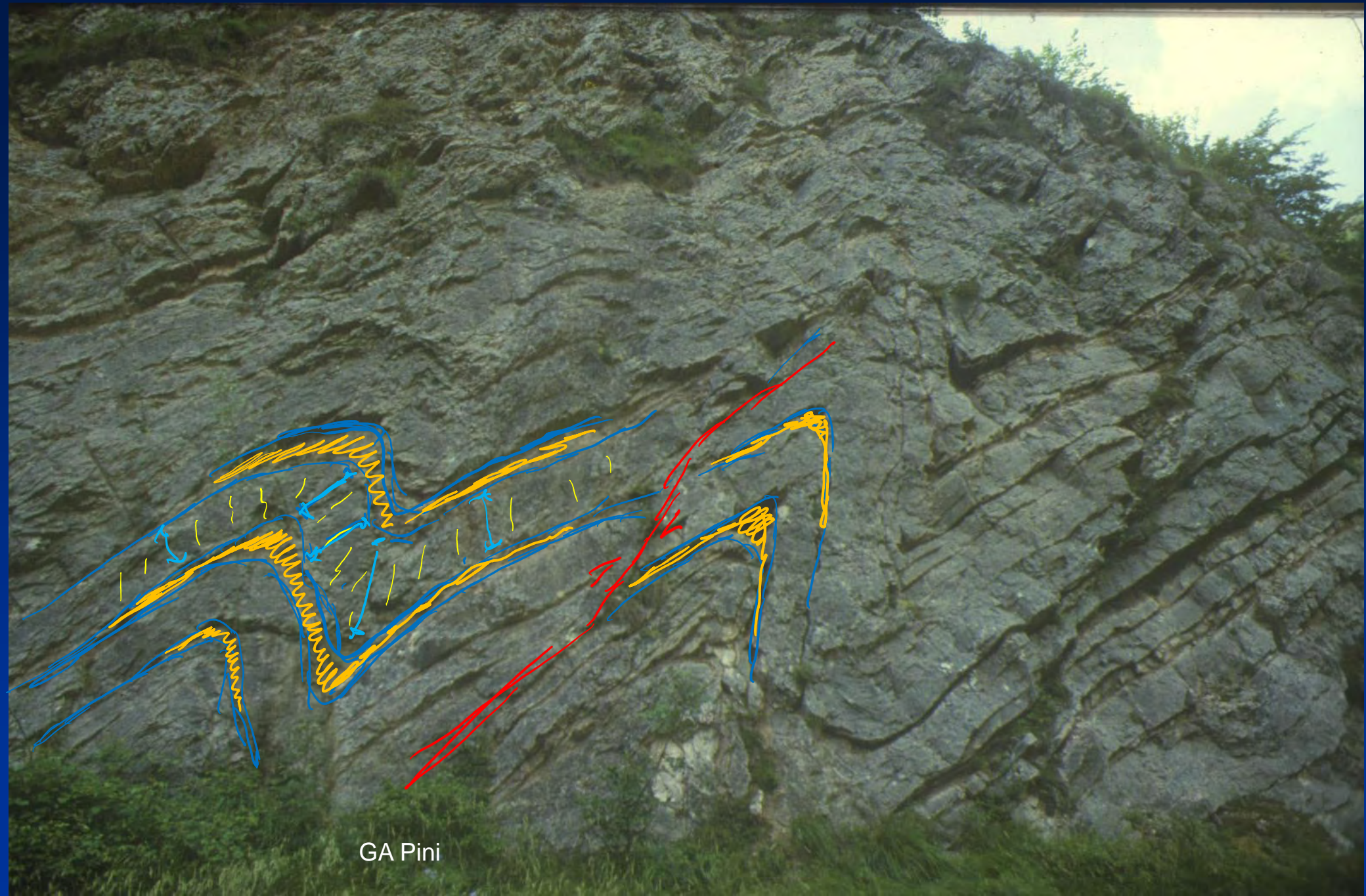




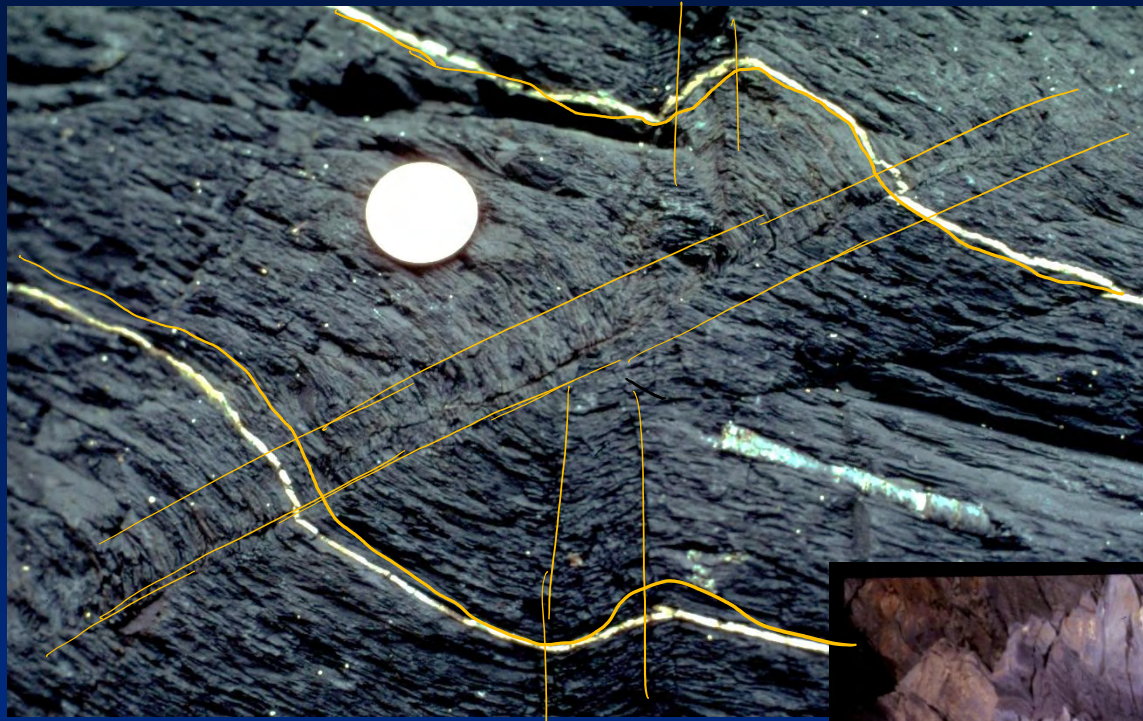
# Le Pieghe

Da Ramsay and Huber, 1987





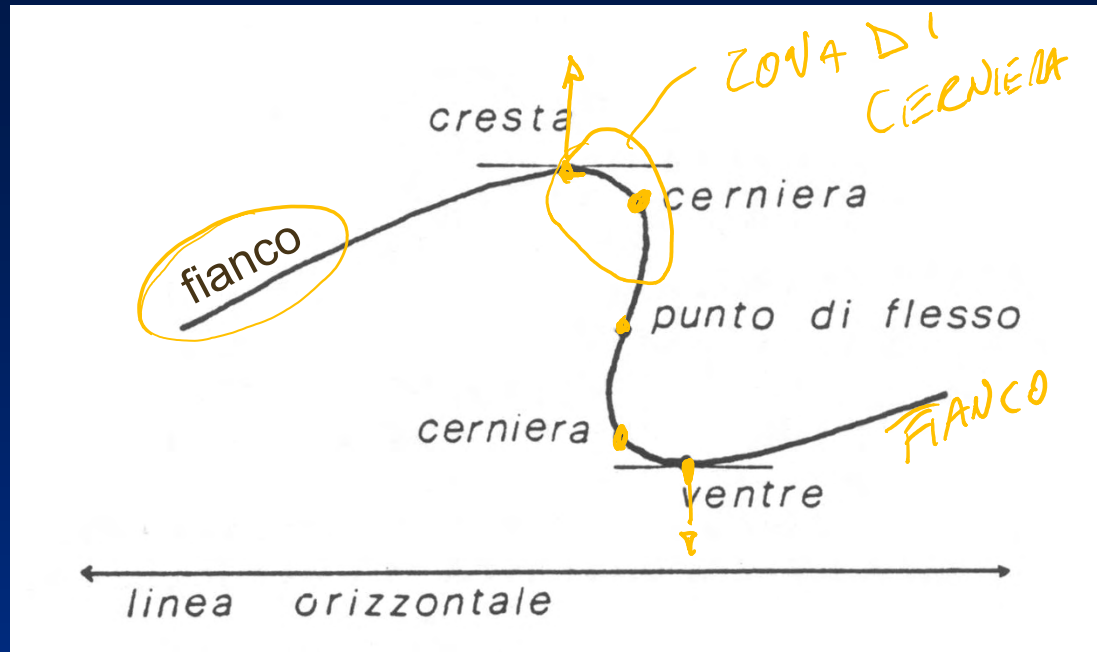
GA Pini



Da Ramsay and Huber, 1987

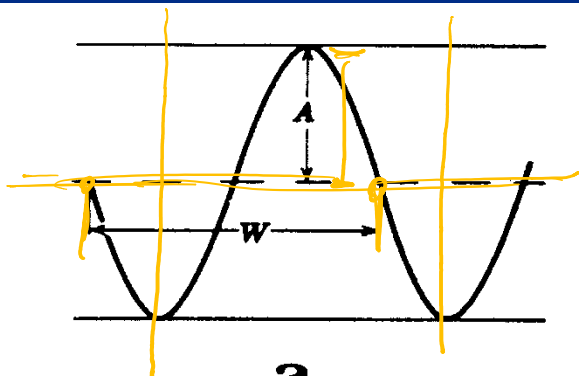
Da Ramsay and Huber, 1987



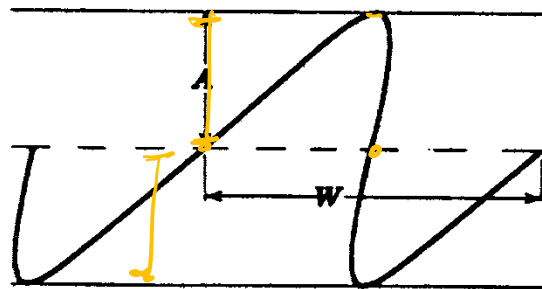


Da Boccaletti & Tortorici, 1987

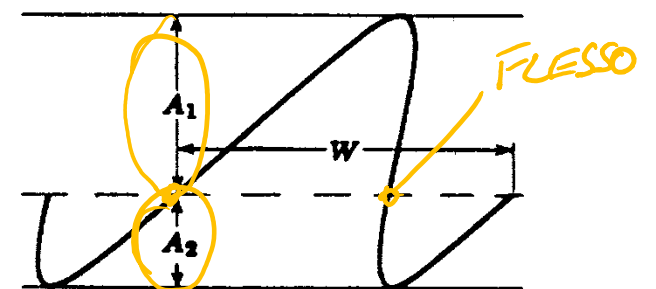
$W$ =lunghezza d'onda;  $A$ =ampiezza



**a**  
Piega simmetrica



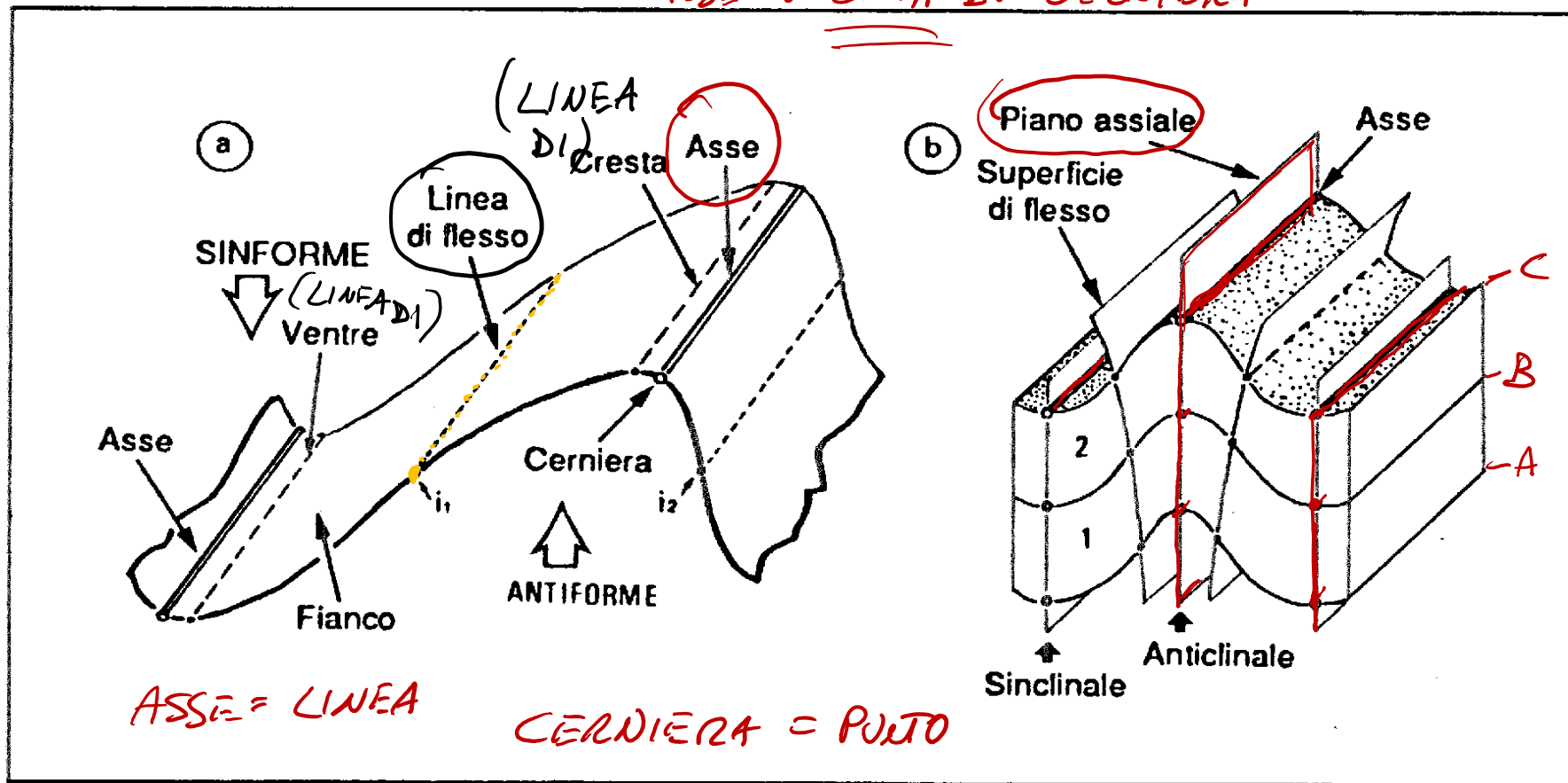
**b**  
Piega asimmetrica



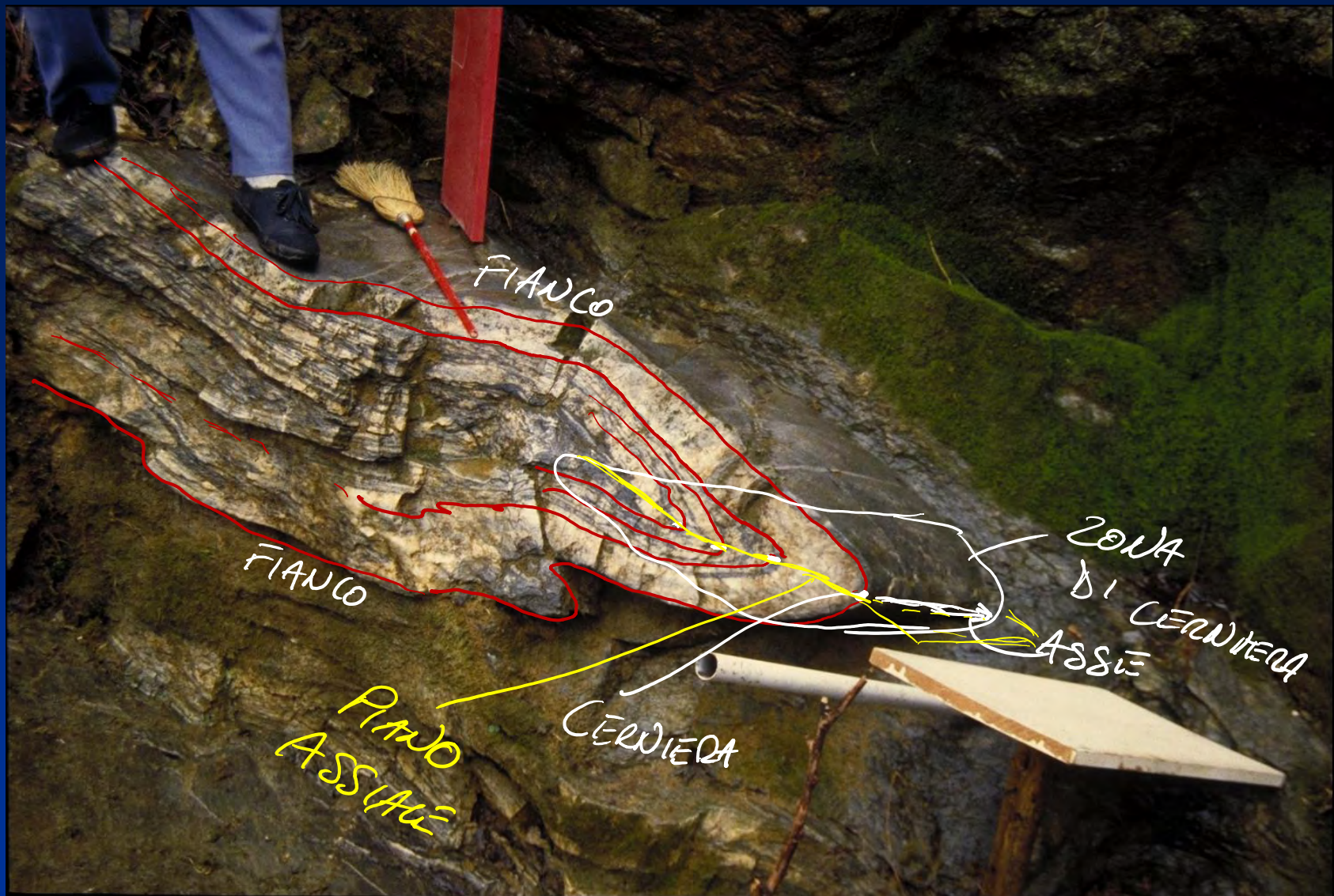
**c**

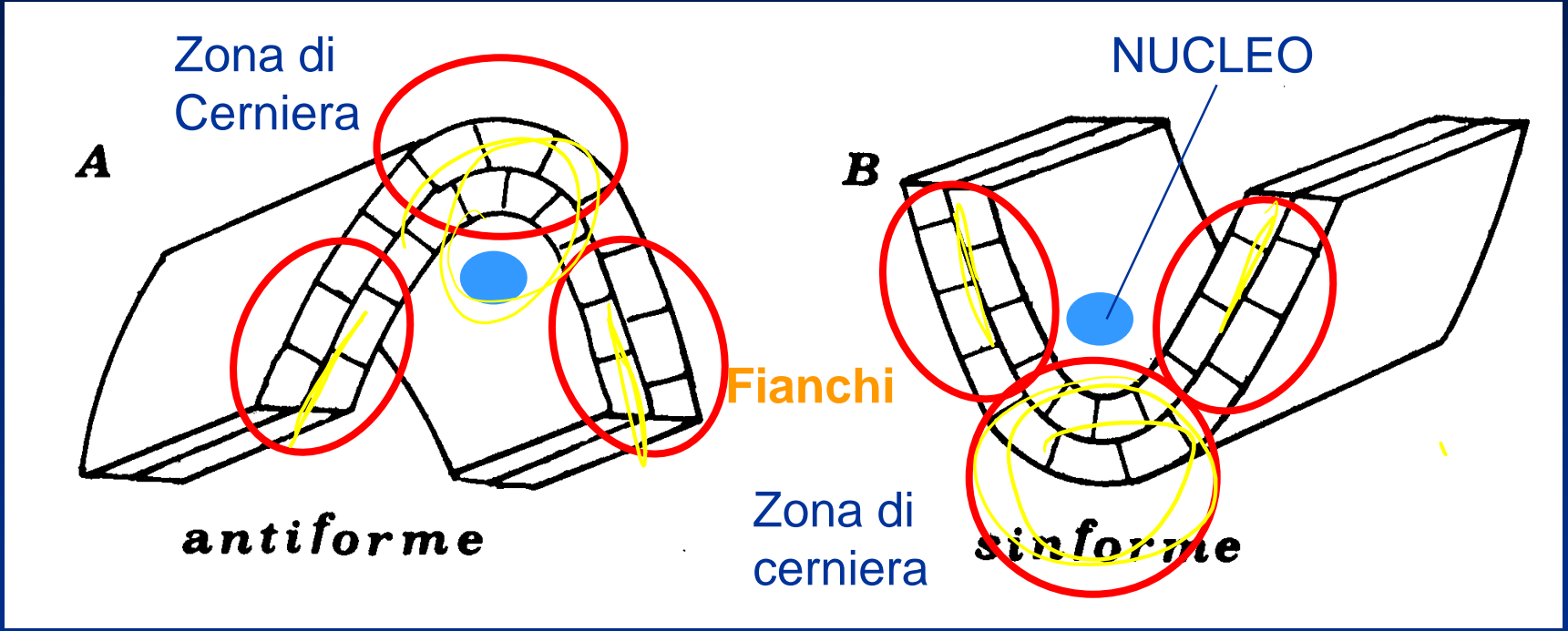
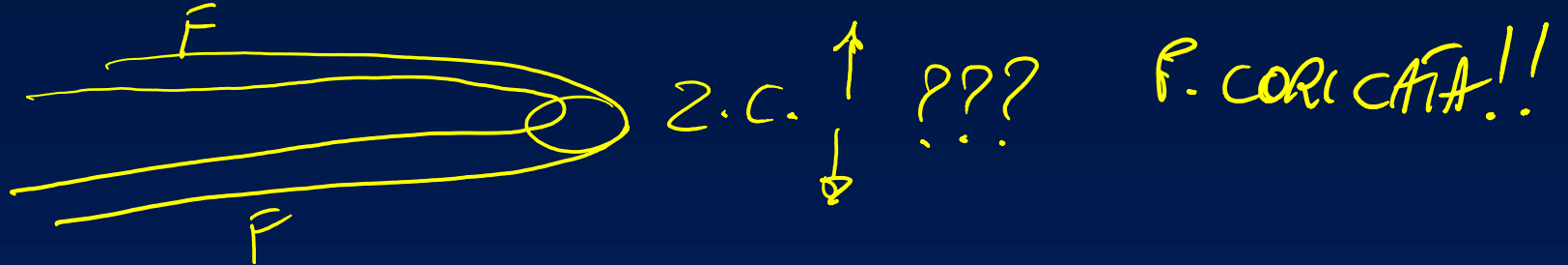
Da Boccaletti & Tortorici, 1987

ASSE O LINEA DI CERNIERA

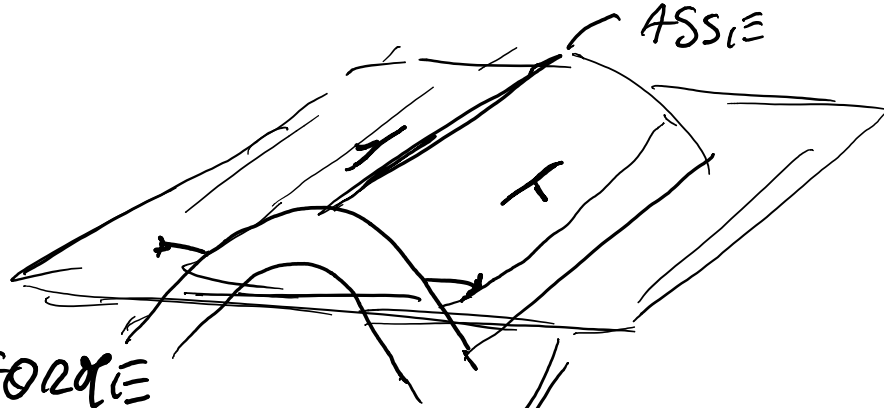


**Figura 8.1. Principali termini utilizzati per la descrizione delle pieghe.**



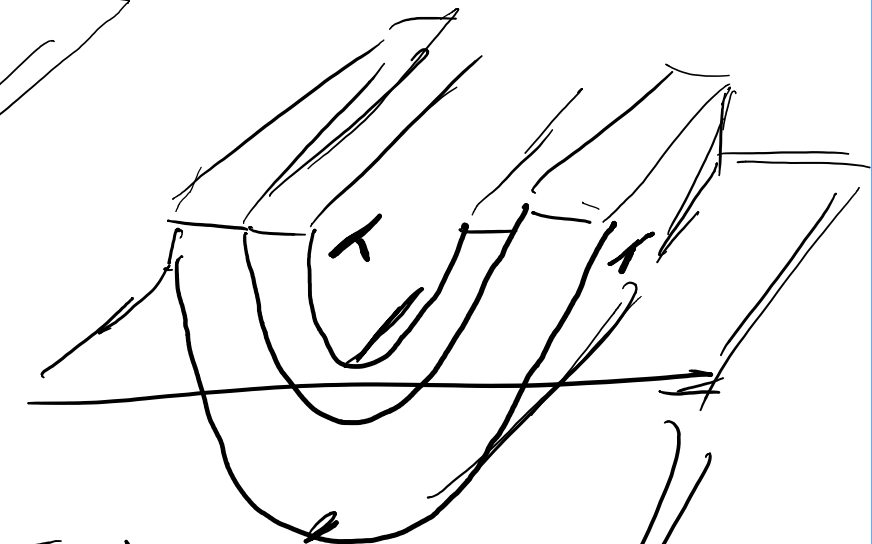
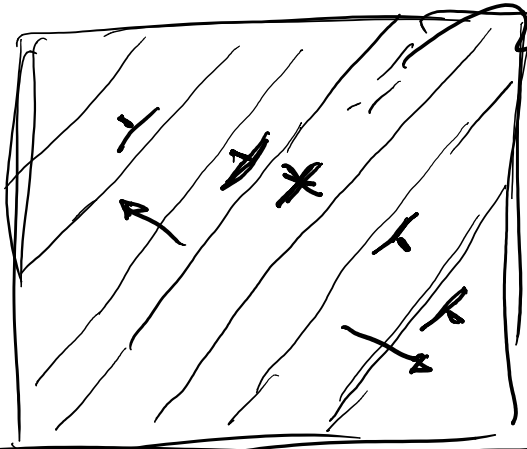




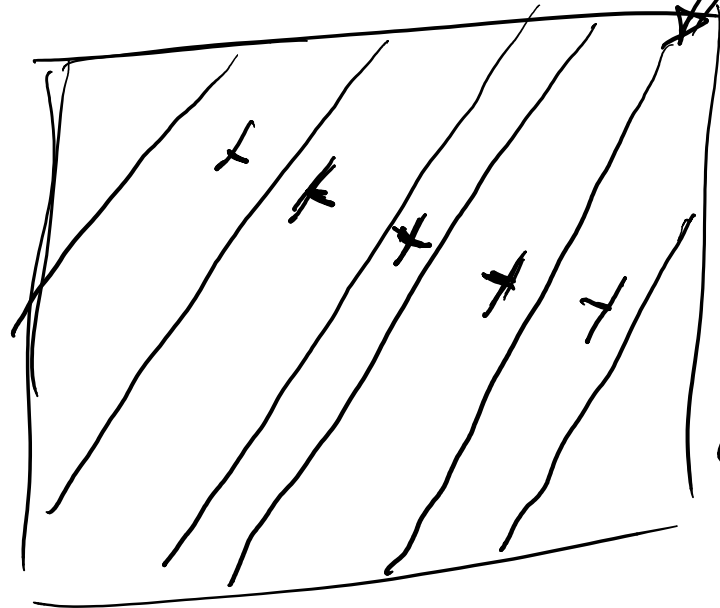


ANTIFORME  
 ANTIVERGENTI

SIW  
 ORIZZONTALI



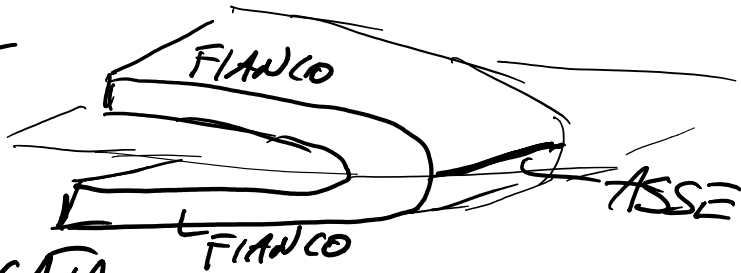
SINFORME



SIW  
 =  
 VER-  
 GENTI

~~ANT~~  
 SIW

PIEGA  
 CORICATA

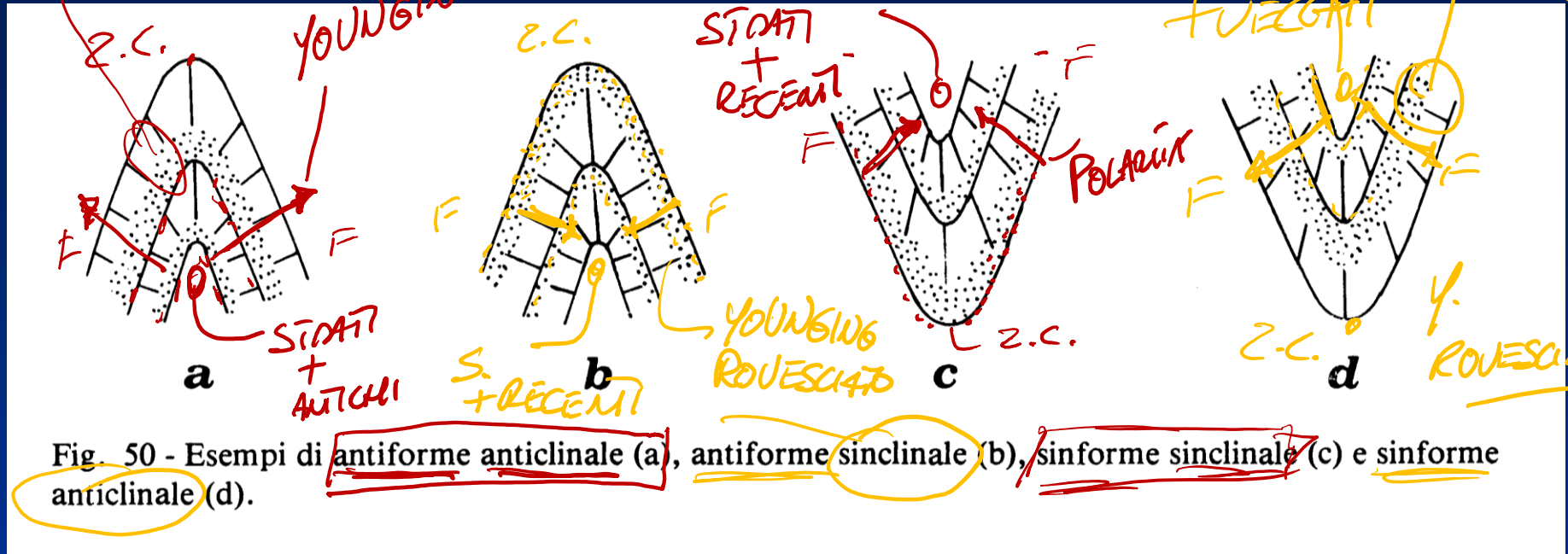


FIANCO

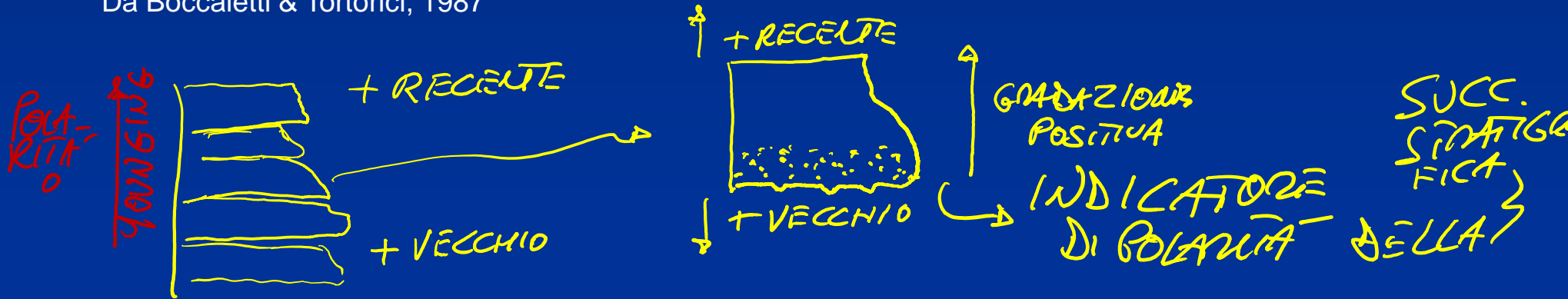
FIANCO

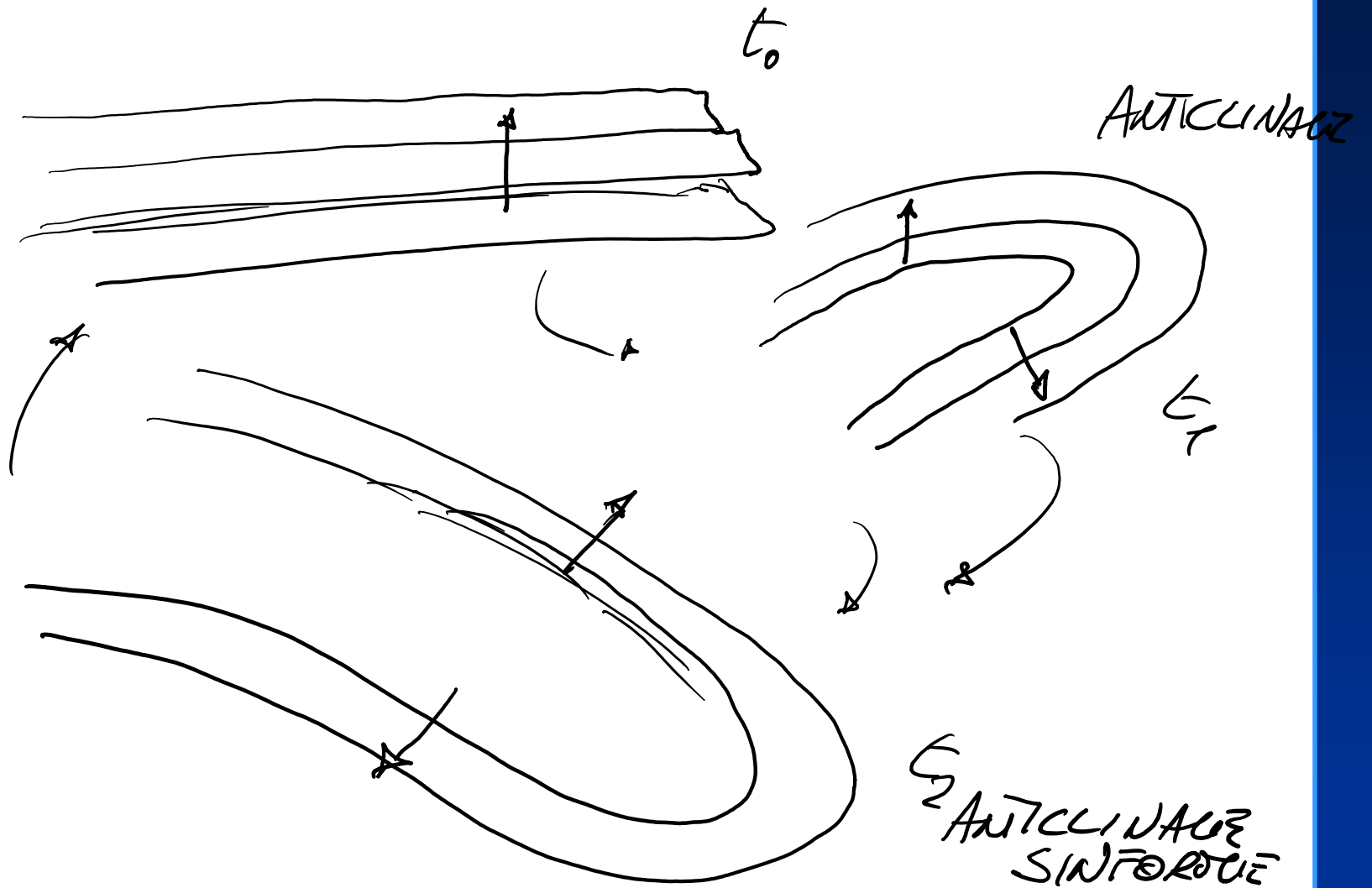
ASSE

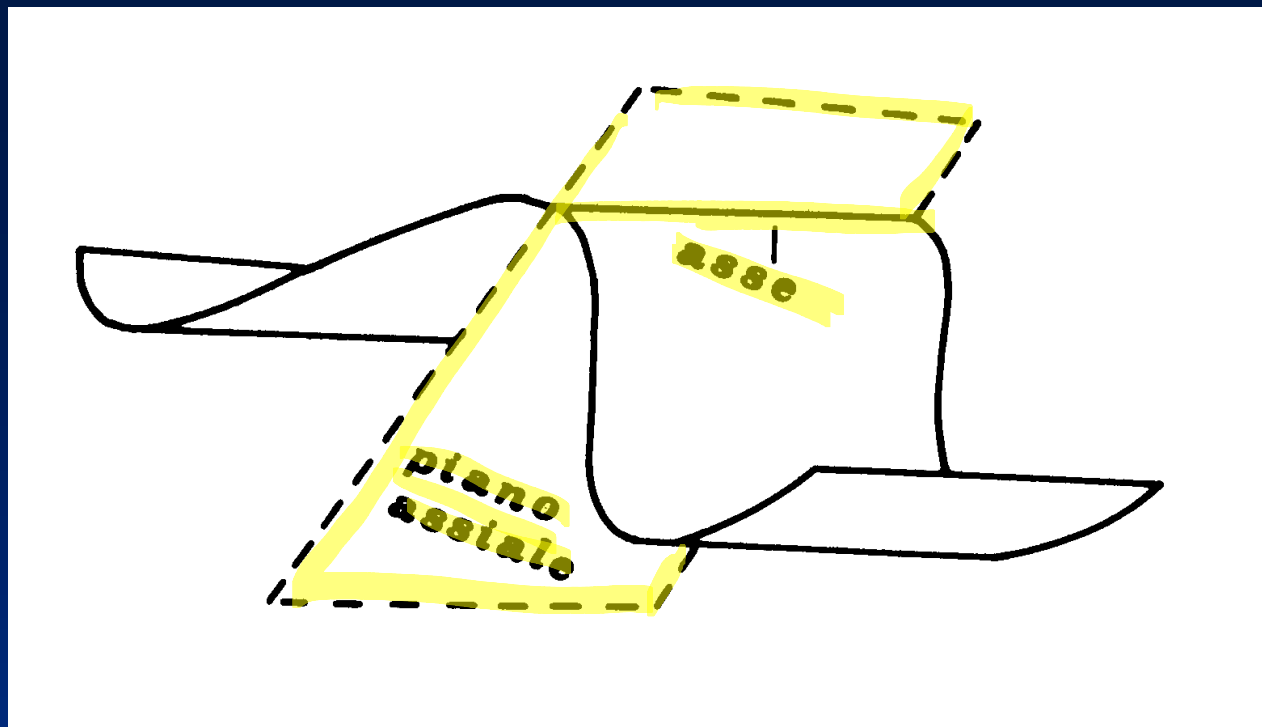
Anticlinale=rocce più antiche al nucleo  
 Sinclinale=rocce più recenti al nucleo



Da Boccaletti & Tortorici, 1987



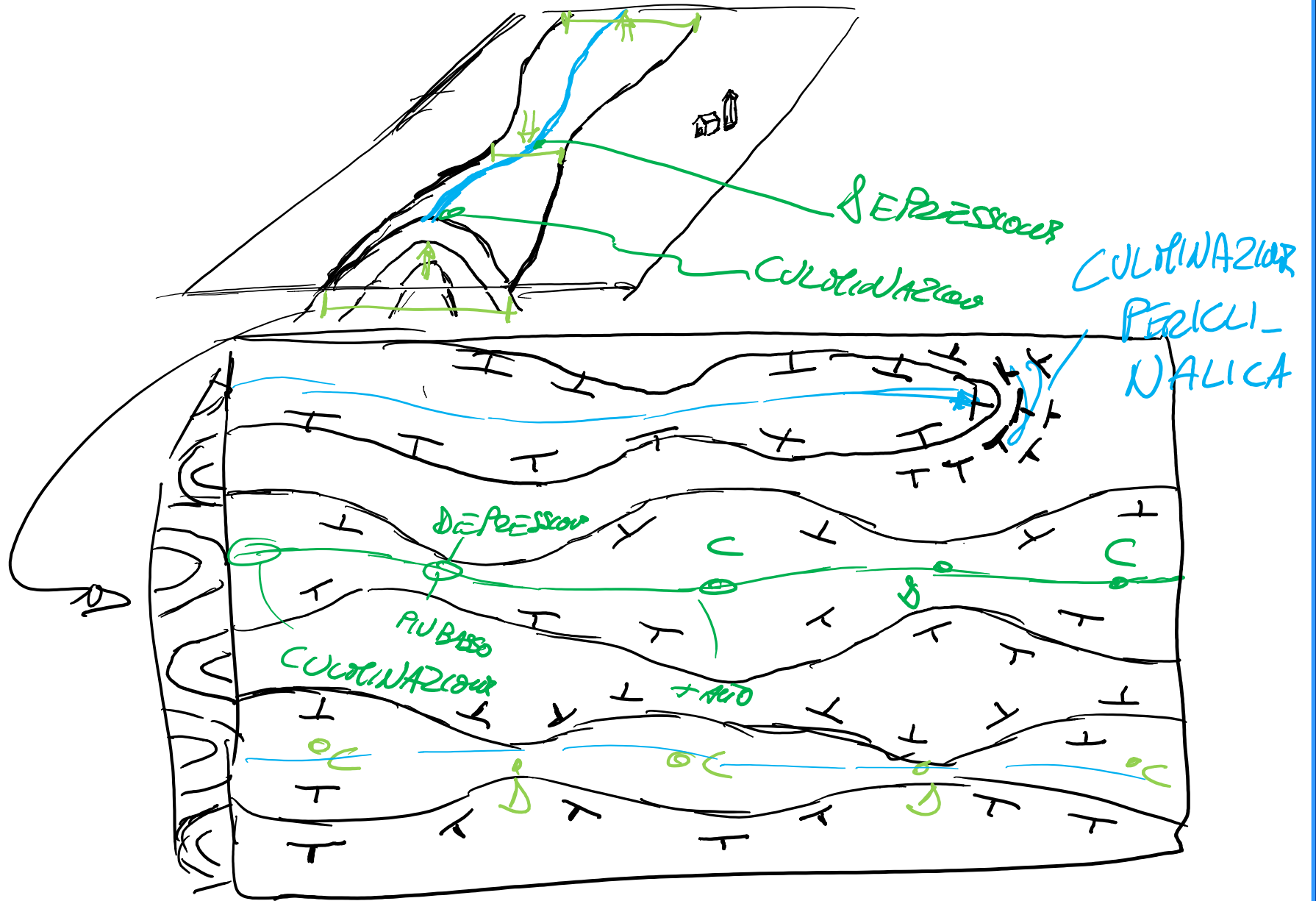




Da Boccaletti & Tortorici, 1987

Da Boccaletti & Tortorici, 1987







C. Periclitatus

D

C

C

C

D

C

L

# Esempio di culminazioni e depressioni



Makran - Iran

# Esempio di “chiusura” periclinalica







© 2010 Europa Technologies  
© 2010 Cnes/Spot Image  
© 2010 Google  
Image © 2010 DigitalGlobe

© 2009 Google



© 2010 Europa Technologies  
© 2010 Cnes/Spot Image  
© 2010 Google  
Image © 2010 DigitalGlobe

© 2009 Google

Data di acquisizione delle immagini: 14 Set 2006

28°36'49.35" N 51°43'13.76" E 1158 m elev.

8.15 km Alt

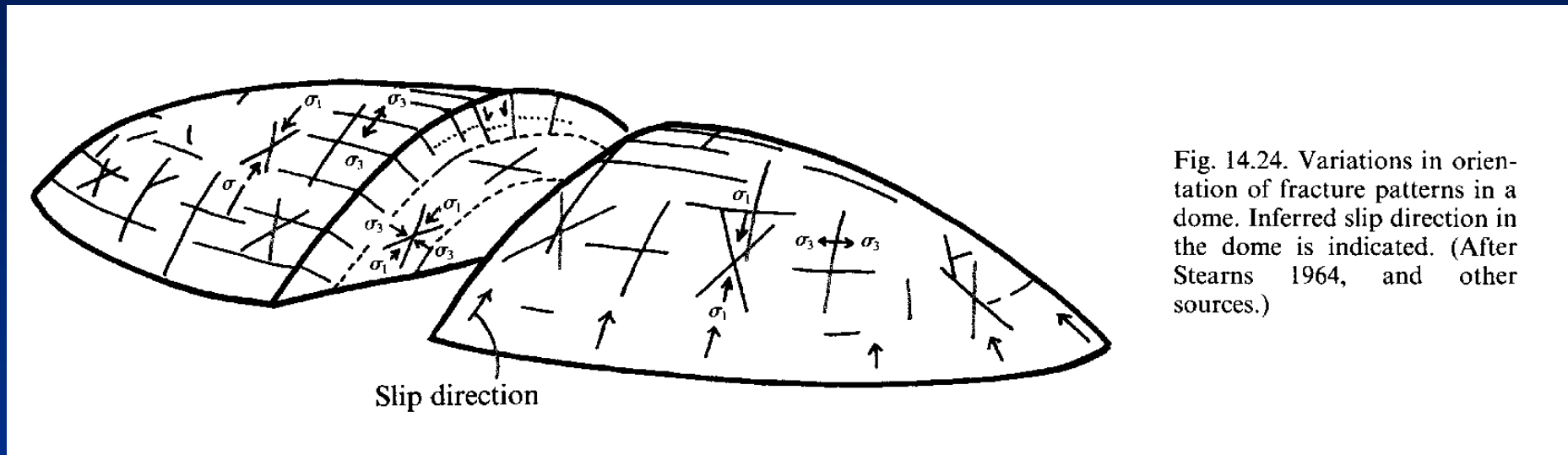
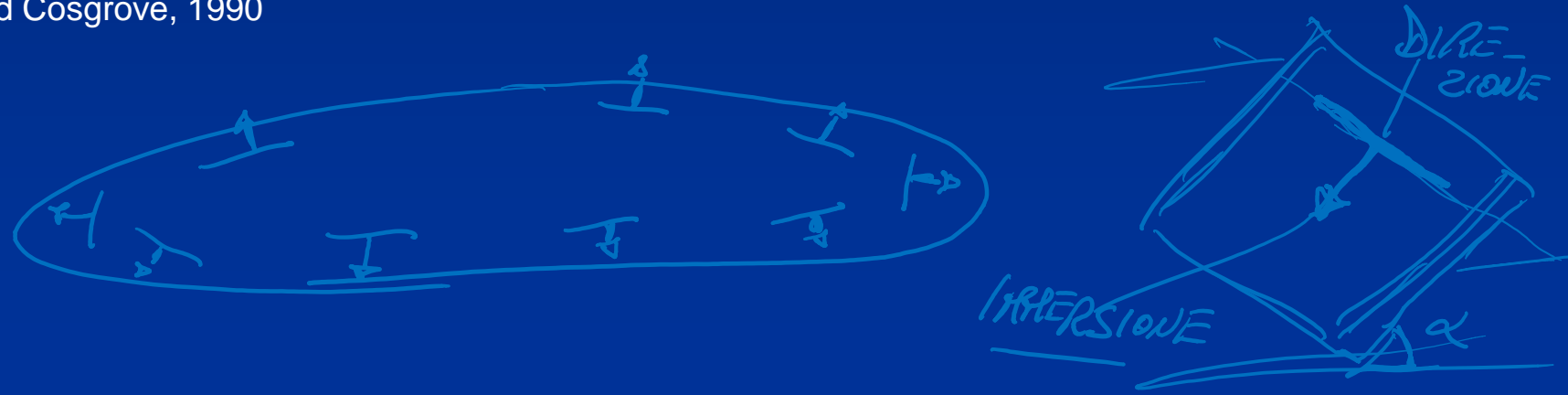
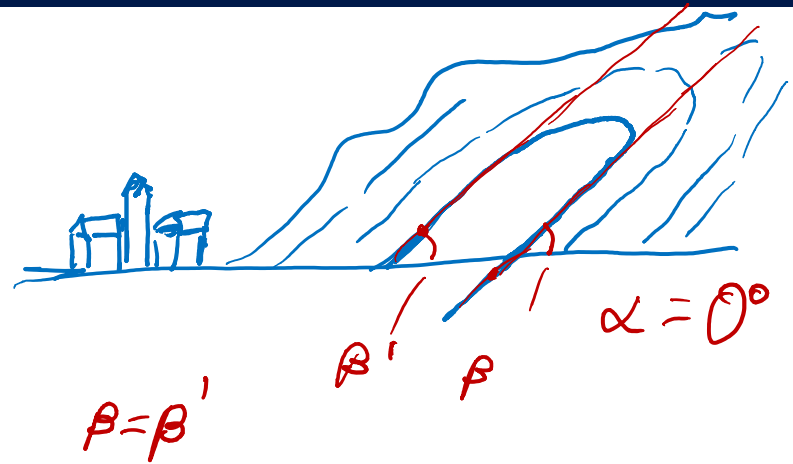
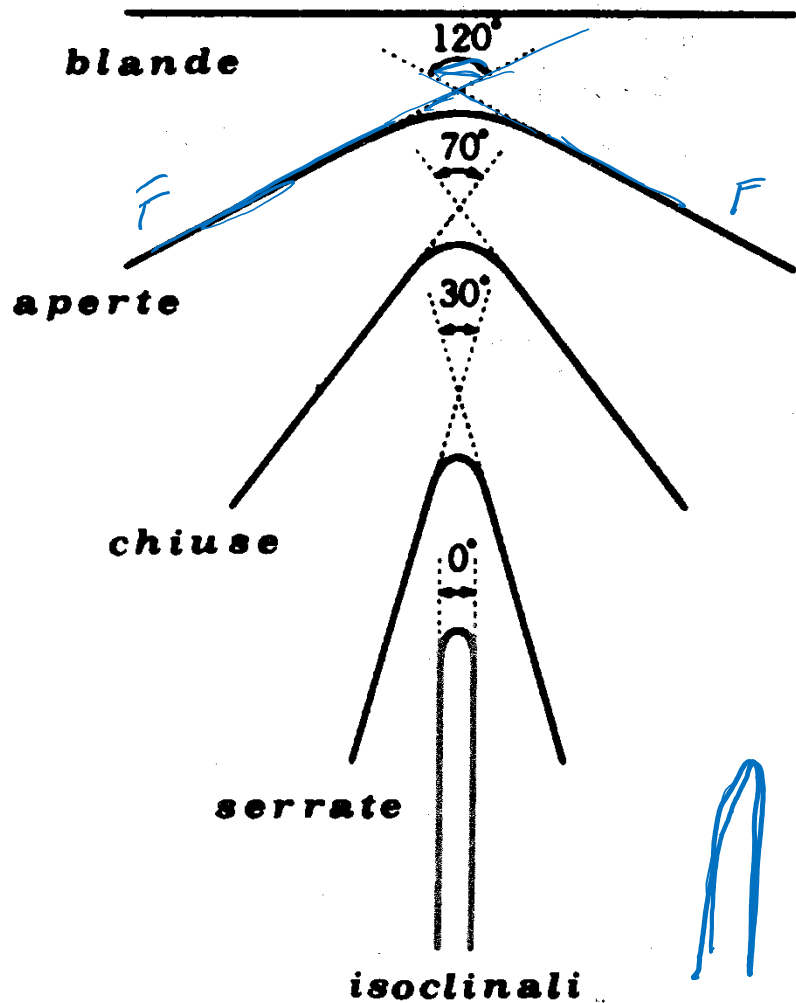


Fig. 14.24. Variations in orientation of fracture patterns in a dome. Inferred slip direction in the dome is indicated. (After Stearns 1964, and other sources.)

Da Price and Cosgrove, 1990





pieghe blande	<u><math>120^\circ - 180^\circ</math></u>
pieghe aperte	<u><math>70^\circ - 120^\circ</math></u>
pieghe chiuse	<u><math>30^\circ - 70^\circ</math></u>
pieghe serrate	<u><math>10^\circ - 30^\circ</math></u>
pieghe <u>isoclinali</u>	<u><math>0^\circ - 10^\circ</math></u>





# IMMERSIONE DEL PIANO ASSIALE

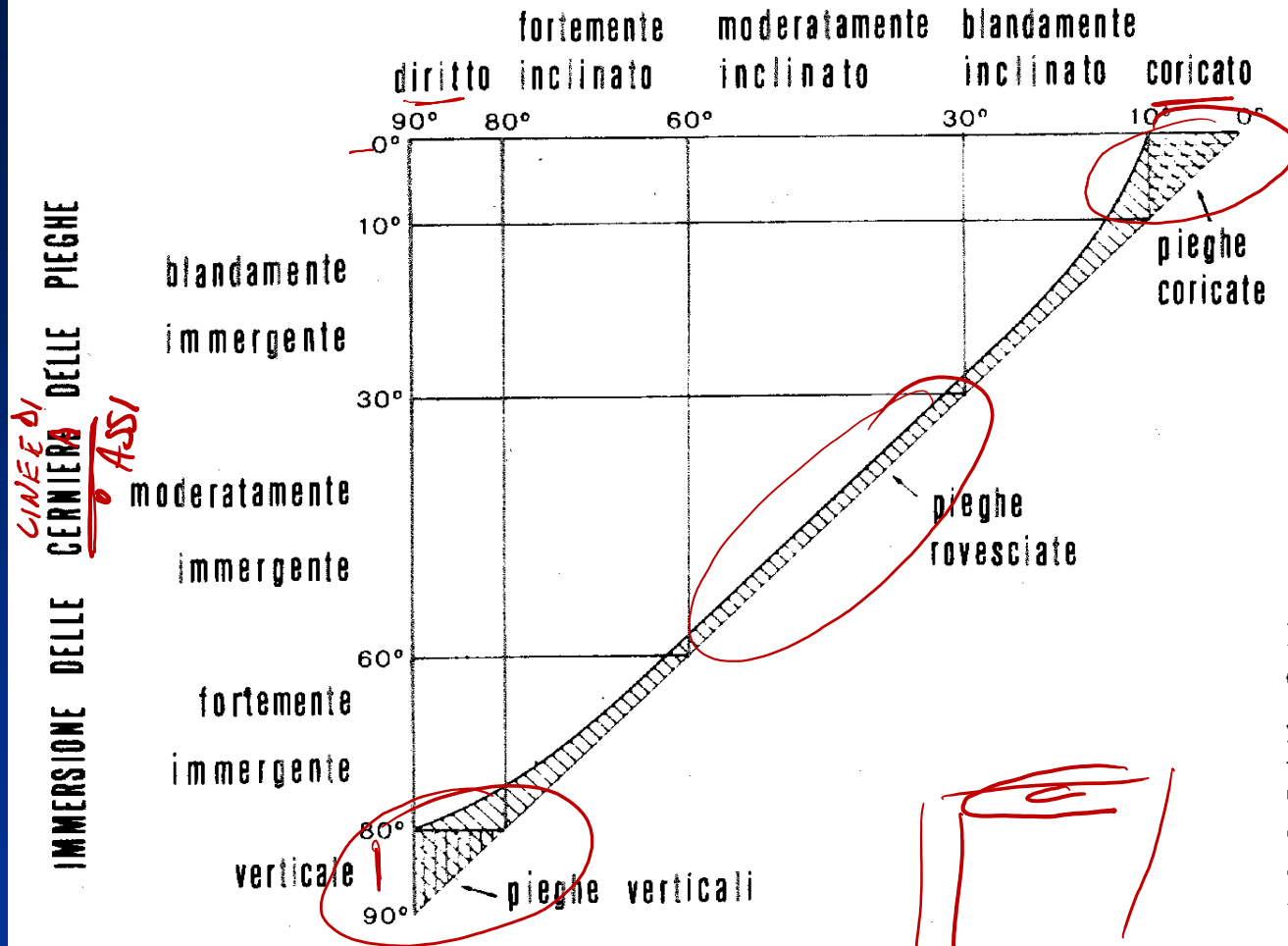


Fig. 78 - Diagramma classificativo delle pieghe sulla base delle relazioni tra immersione del piano assiale ed inclinazione della linea di cerniera (da ROBERTS, 1982).

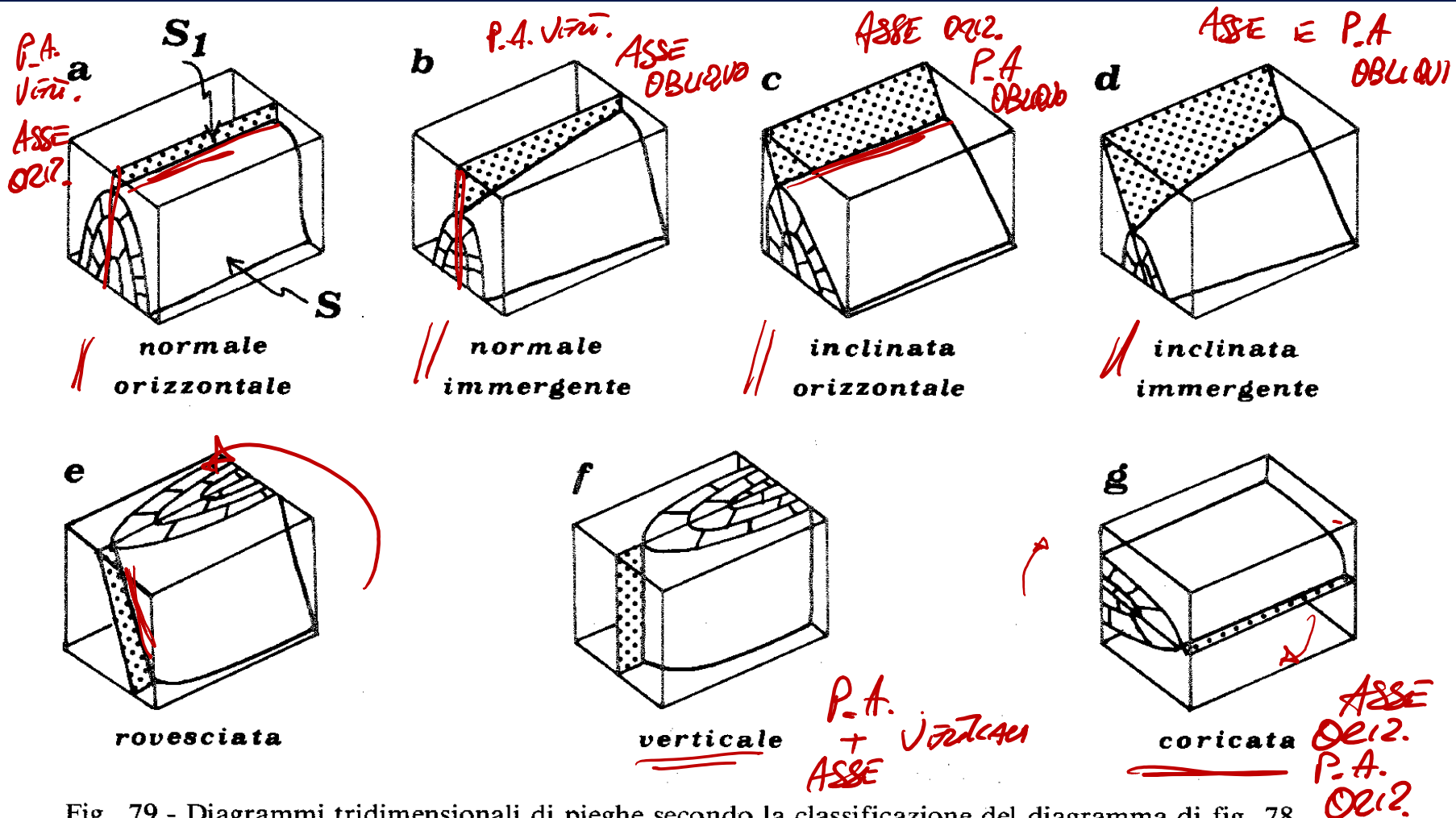


Fig. 79 - Diagrammi tridimensionali di pieghe secondo la classificazione del diagramma di fig. 78.

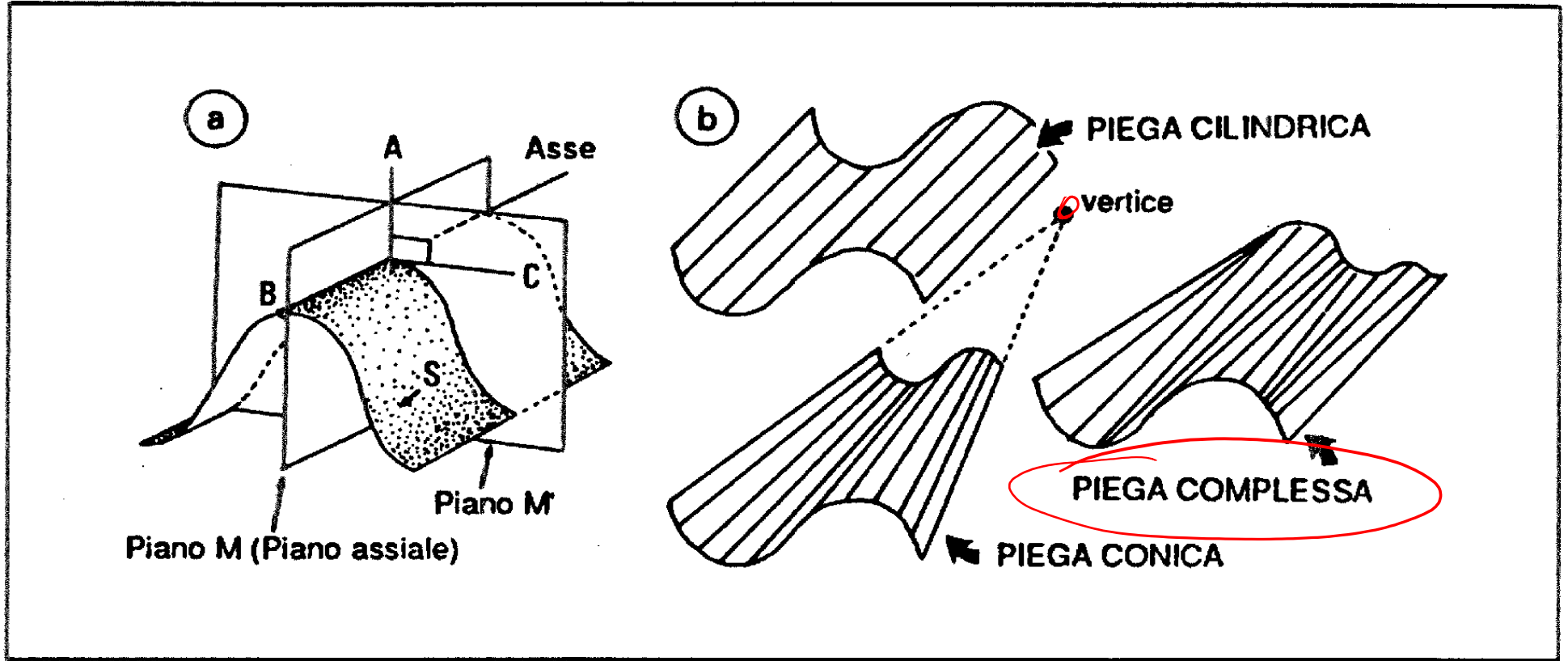


P.A.

ASSI

PLEGNE CORCATE





**Figura 8.5. a) Piani di simmetria ( $M$  e  $M'$ ) ed assi geometrici ( $A, B, C$ ) di una piega; b) superficie piegata descritta secondo le sue generatrici (piega cilindrica, conica e complessa).**

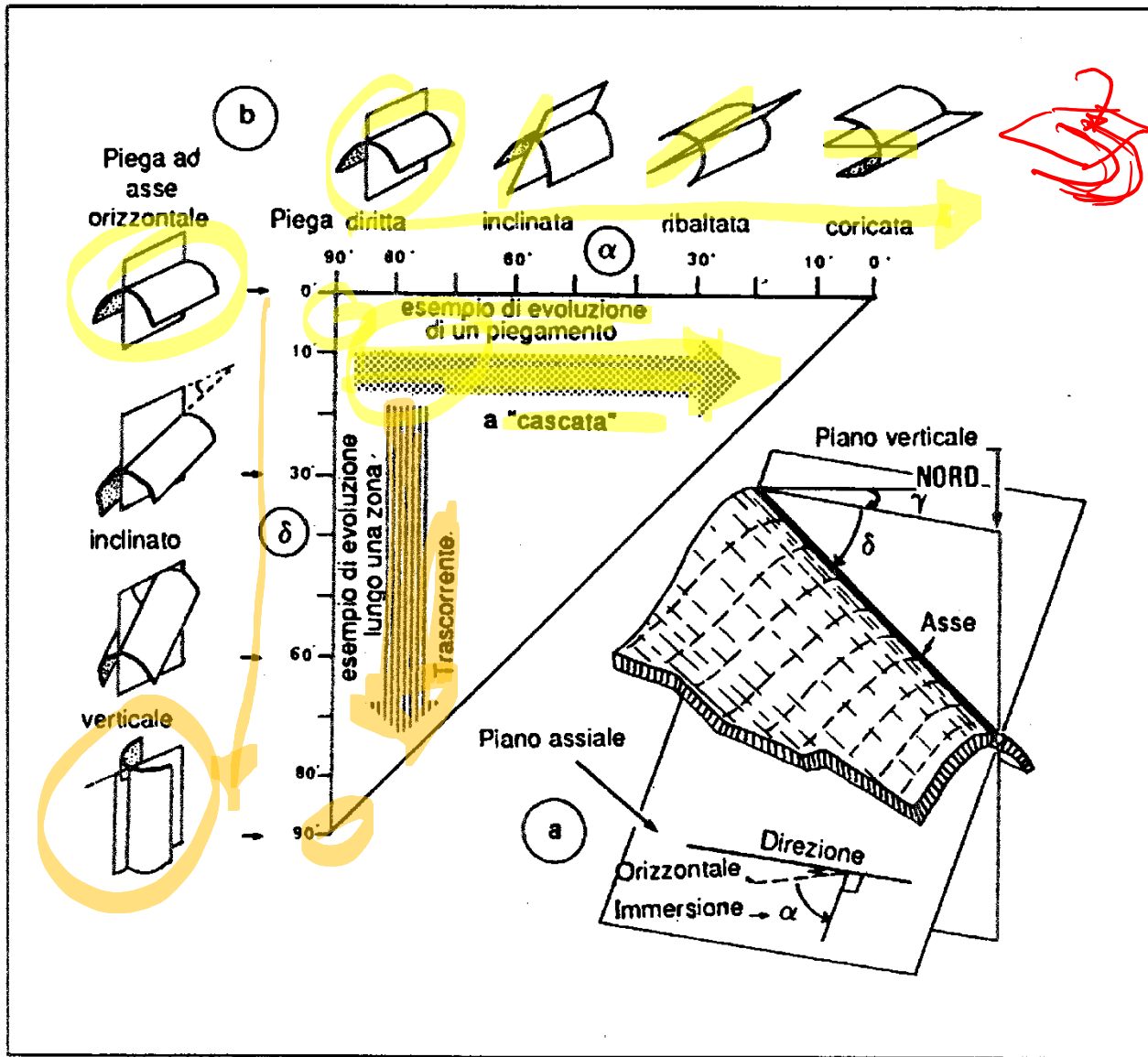
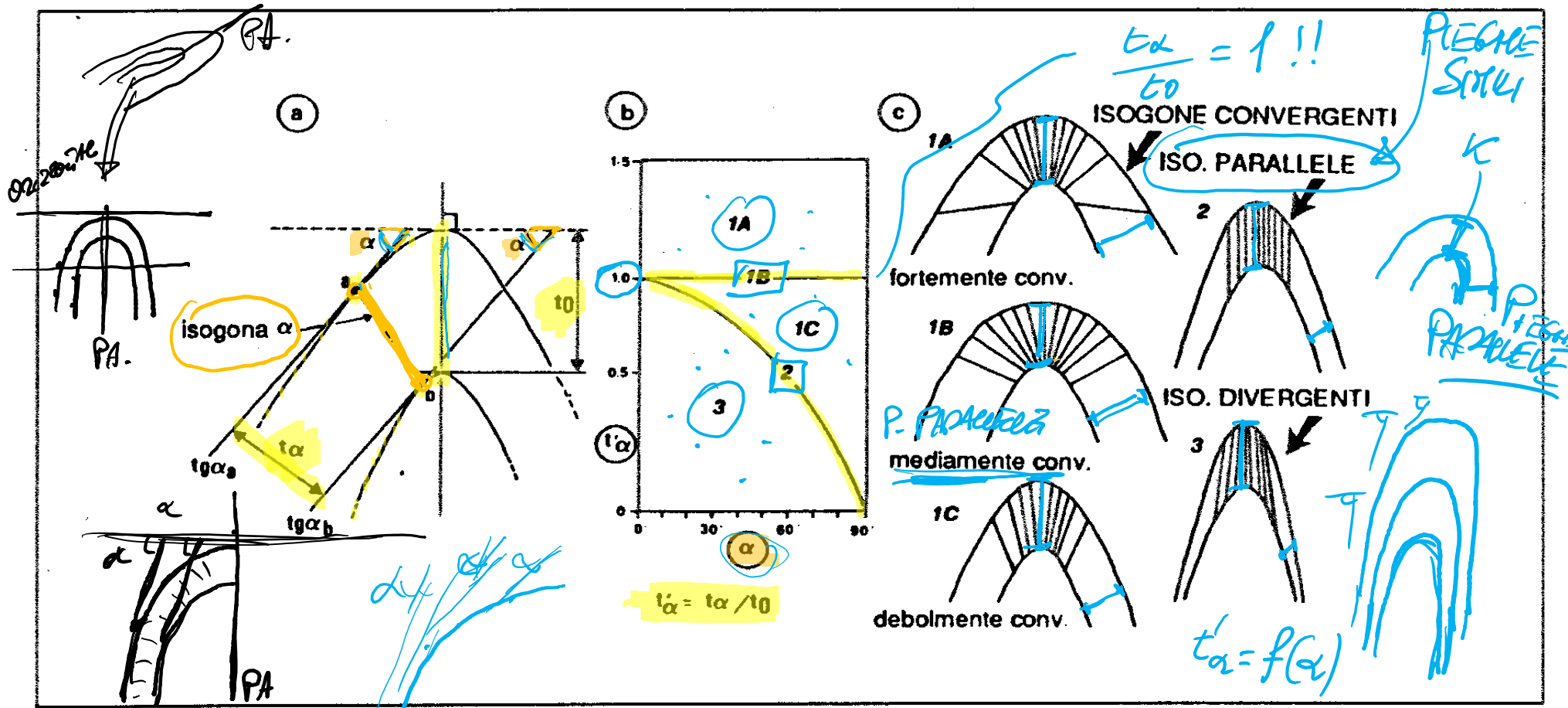
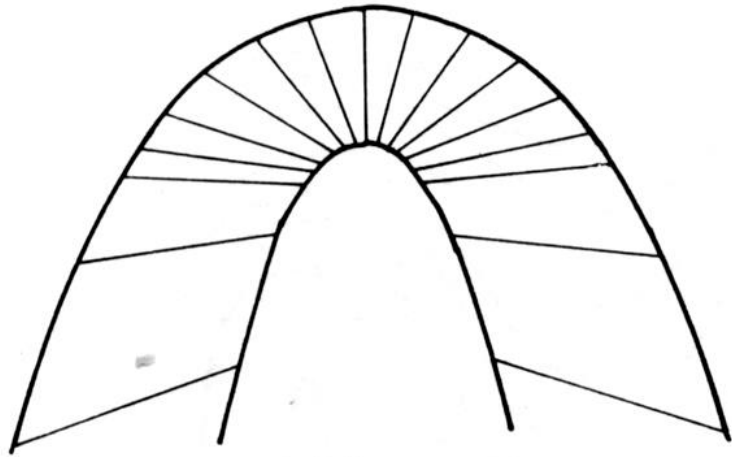


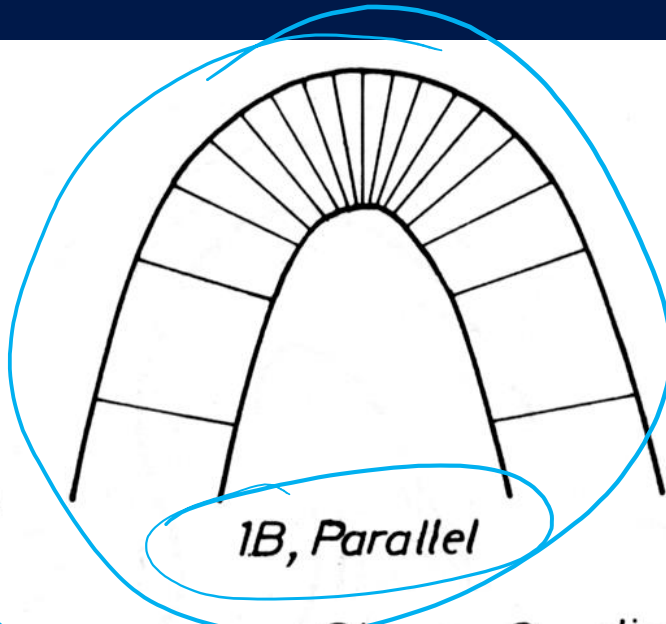
Figura 8.4. Diagramma di Fleuty (1964, Proc. Geol. Ass. Lond., 75, 461-492) che rappresenta le pieghe in funzione dell'immersione ( $\delta$ ) dell'asse e dell'inclinazione ( $\alpha$ ) del piano assiale.



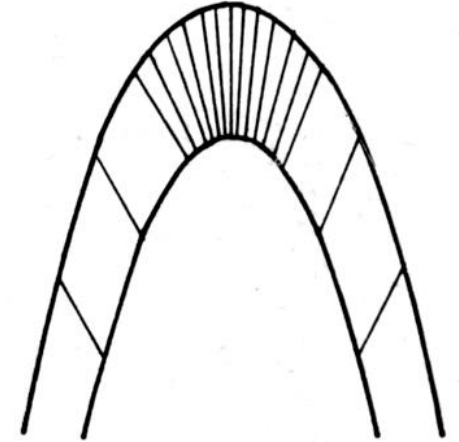
**Figura 8.6. Classificazione delle pieghe secondo Ramsay (1967, McGraw Hill, 568 p.): a) determinazione dei valori di  $t_0$  e  $t_\alpha$  e costruzione dell'isogona  $\alpha$  lungo una sezione della piega; b) diagramma di  $t'_\alpha$  in funzione di  $i_\alpha$  che definisce le diverse classi delle pieghe; c) geometria delle isogone delle pieghe di differenti classi.**



1A

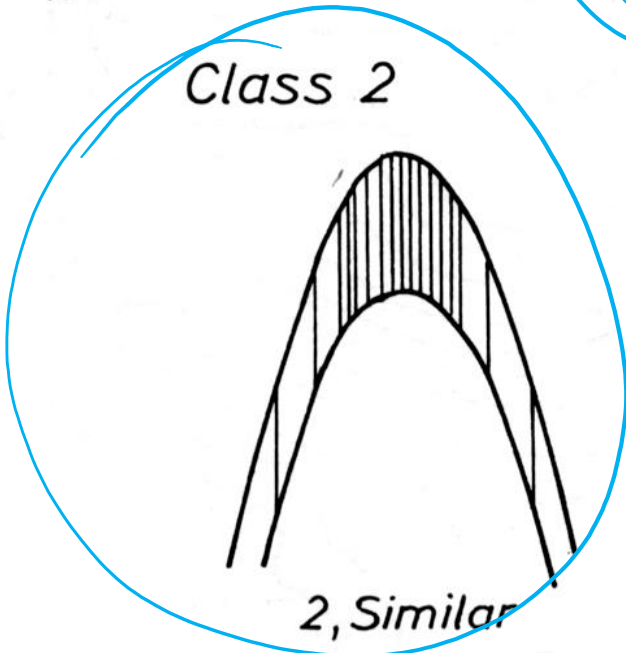


1B, Parallel



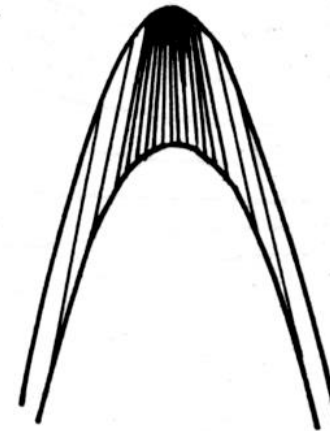
1C

Class 2

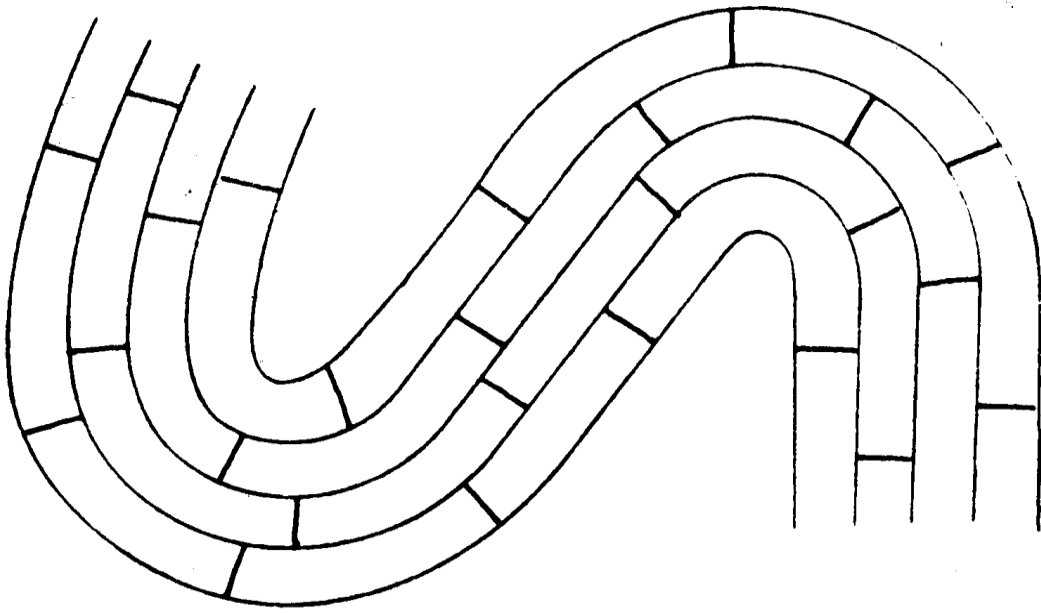


2, Similar

Class 3, divergent isogons



3



Pieghe parallele

Da Boccaletti & Tortorici, 1987

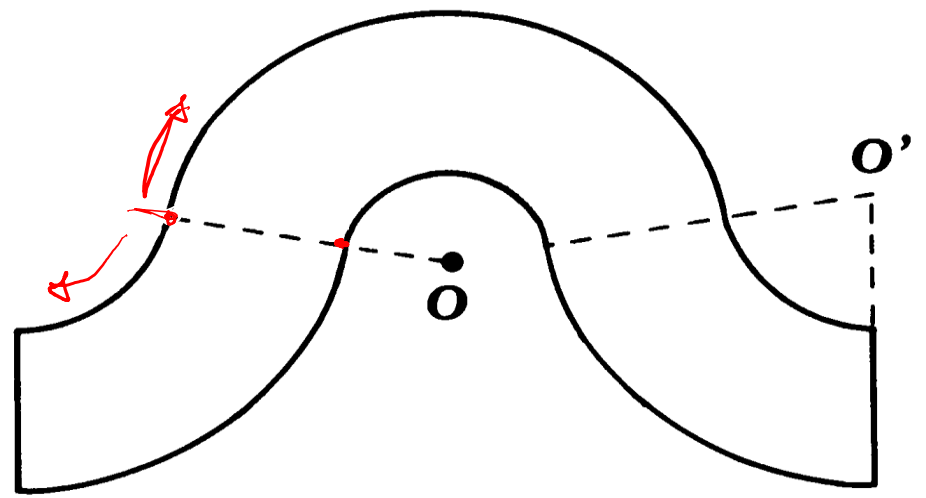
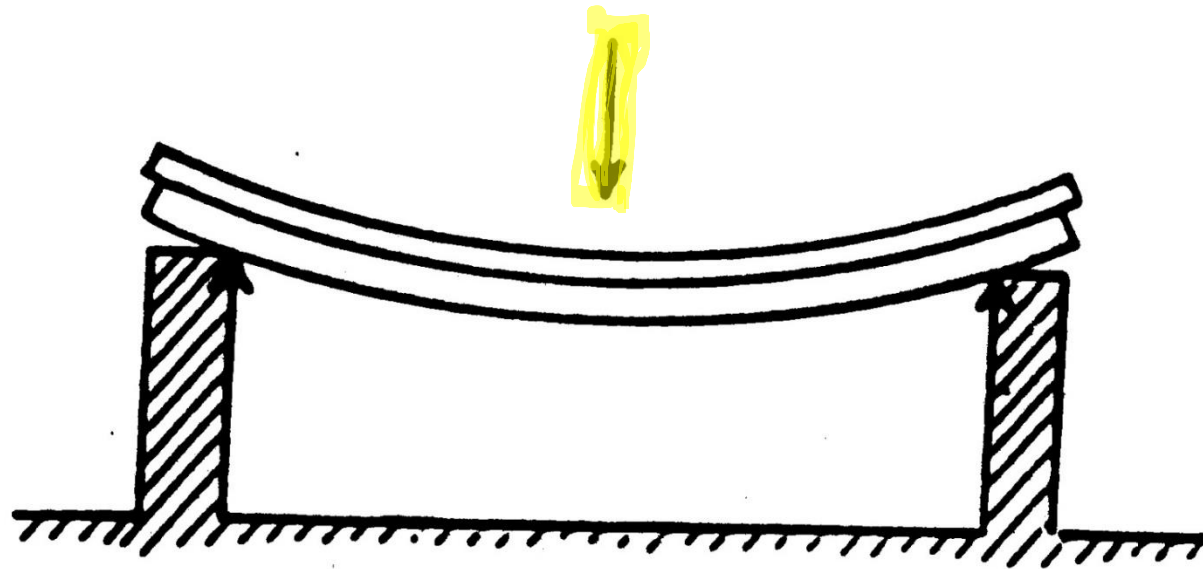
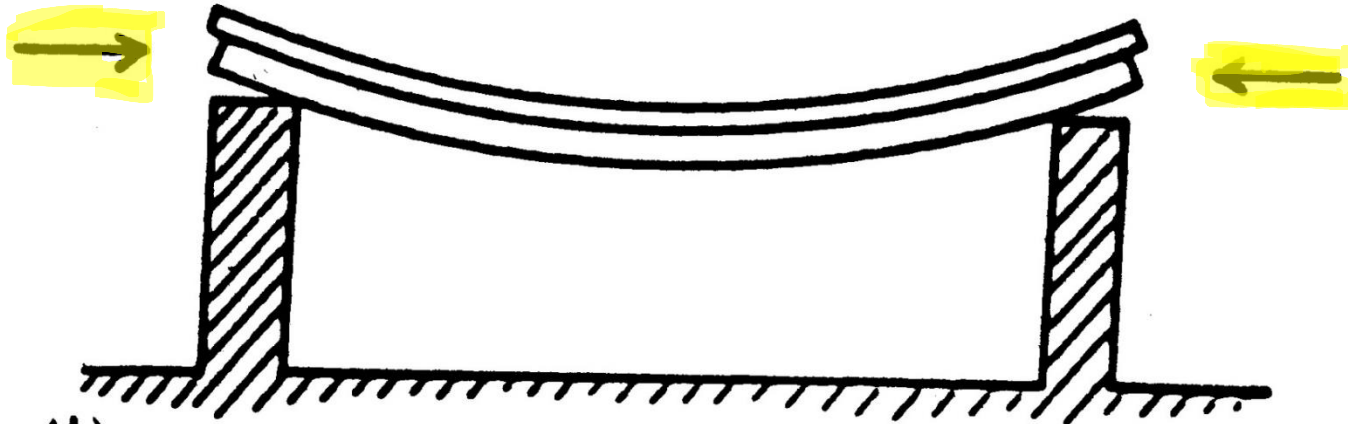


Fig. 66 - Esempio di piega concentrica. I punti  $O$  e  $O'$  rappresentano i centri origine dei relativi archi di circonferenza.



(a)

Bending

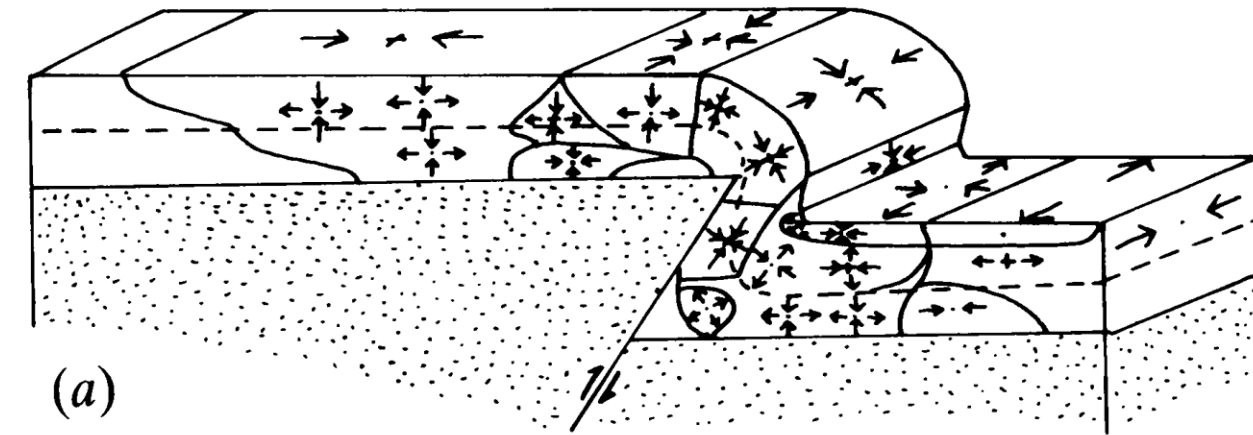


(b)

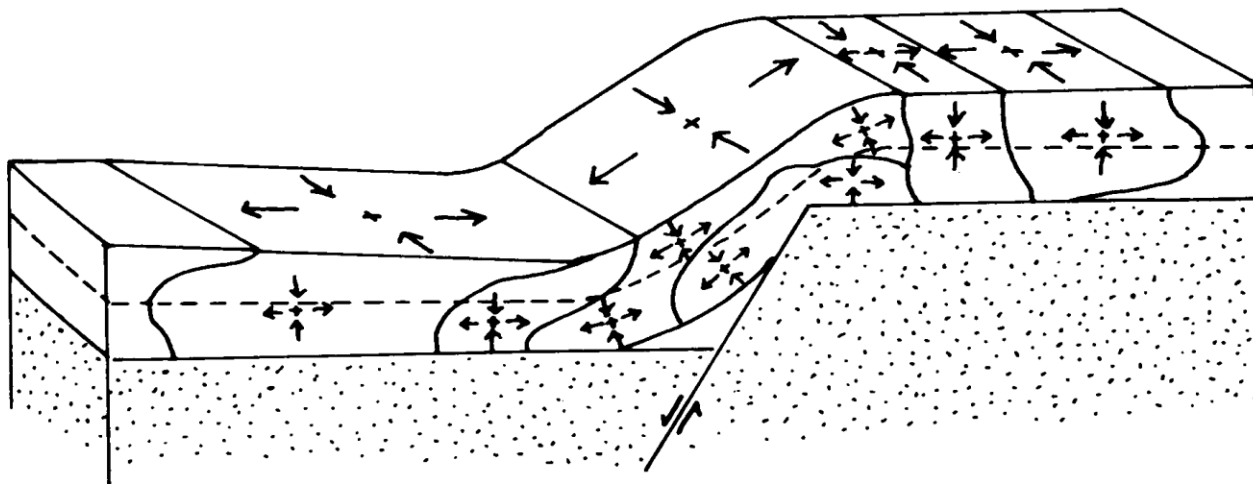
Buckling

## Pieghe per flessione passiva

### *Bending*



(a)



(b)

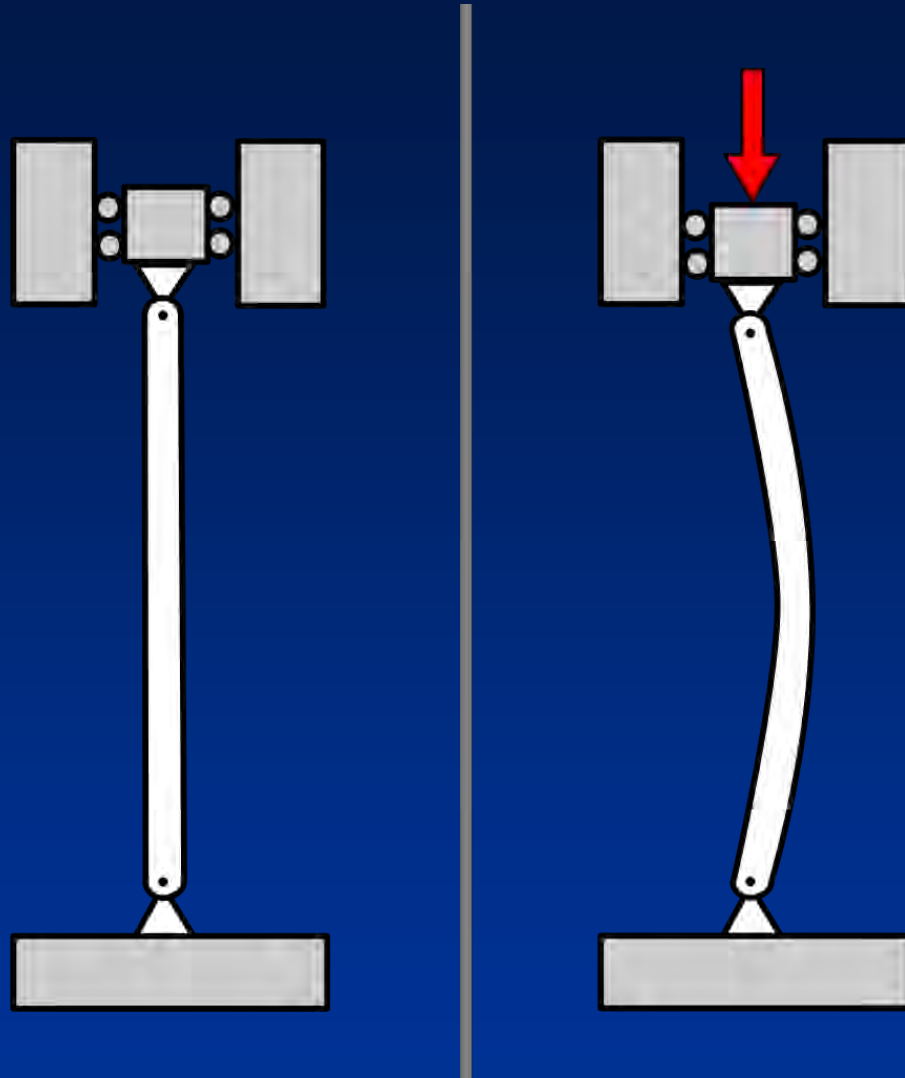
Fig. 10.20. Experiments showing the effects of (a) reverse and (b) normal faulting in a rigid basement on a layered, ductile cover. (After Ameen 1988.)

# Buckling



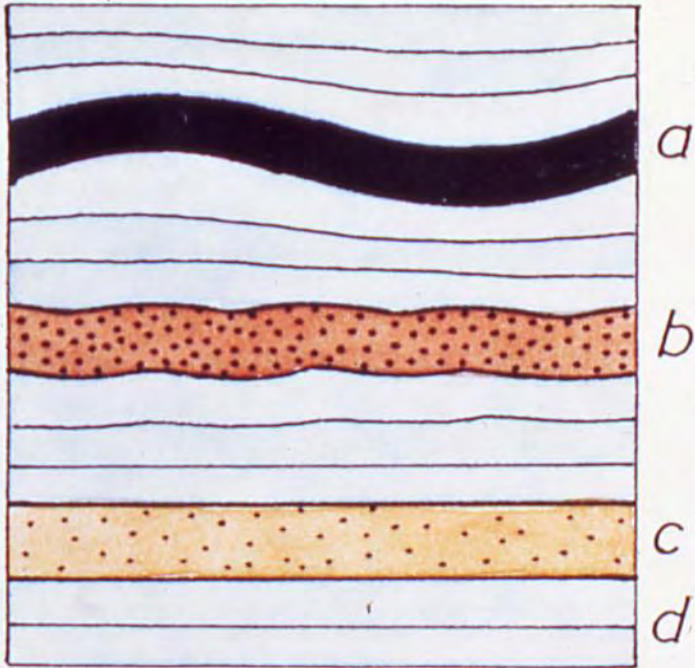
High heat resulted in thermal expansion of these rails, buckling this section of railway. Da U.S. Department of Transportation. Public domain, last modified 2019. <https://toolkit.climate.gov/image/1001>



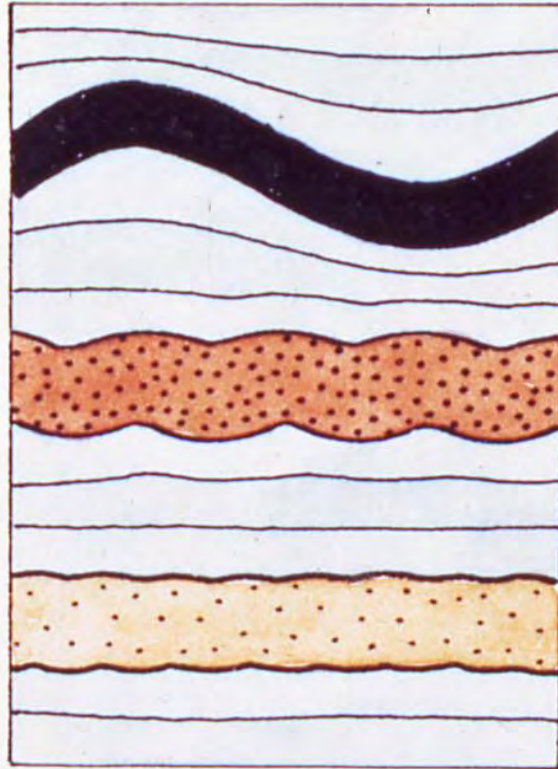


By Buckled\_column.png: Original uploader was Spindustrious at en.wikipediaderivative work: Mircalla22 (talk) - Buckled\_column.png, Public Domain, <https://commons.wikimedia.org/w/index.php?curid=7648435>

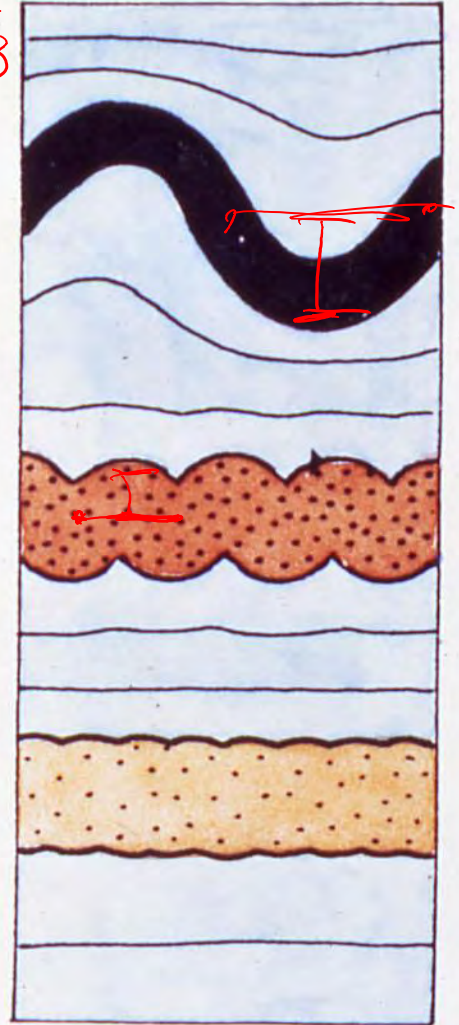
$t_1$



$t_2$



$t_3$

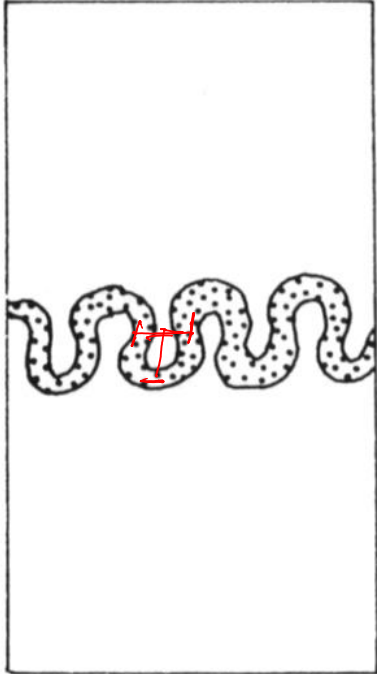




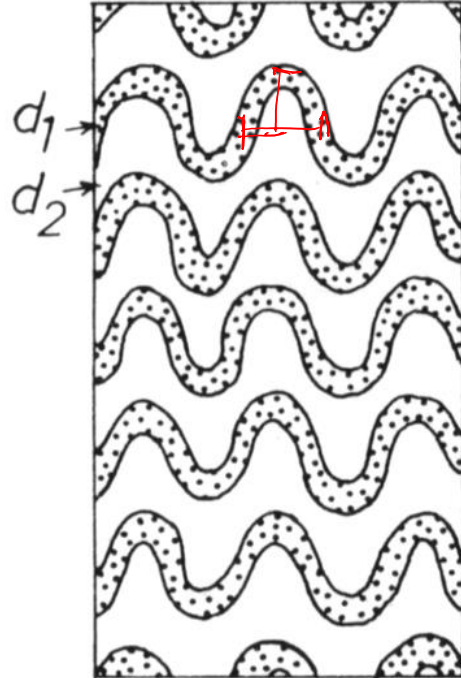
Da Ramsay & Huber, 1987

**Pieghe ptigmatiche o a elastico**

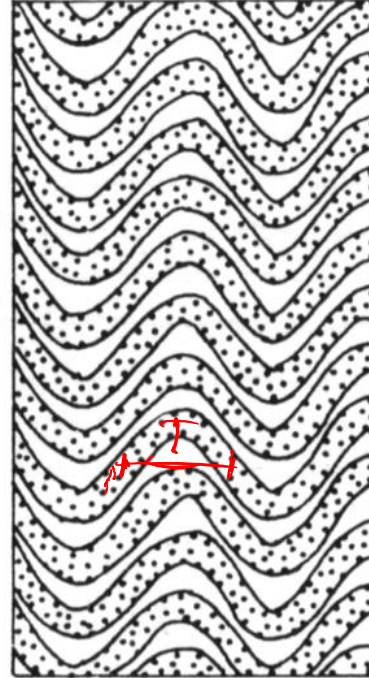
A.  $n = \infty$



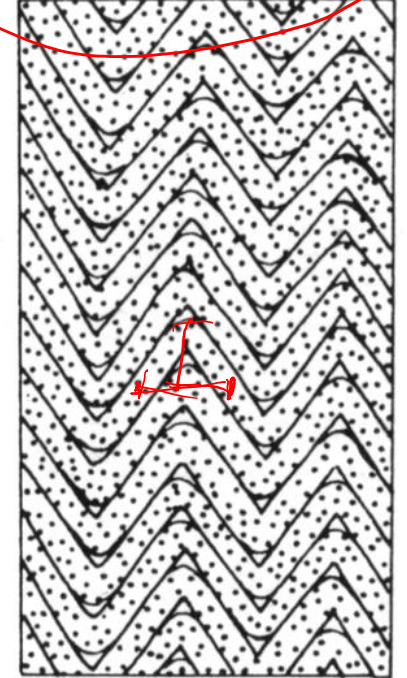
B.  $n = 4$



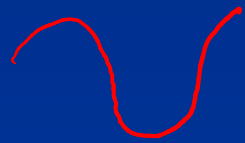
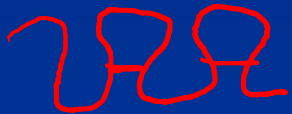
C.  $n = 1$



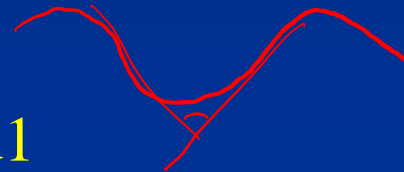
D.  $n = 0.2$



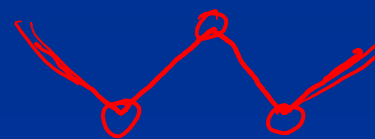
Da Ramsay & Huber, 1987



$$n = d_2 / d_1$$



PIEGHE  
CHEVRON



ZIG-ZAG

Rapporto tra gli spessori dei livelli incompetenti e competenti

# Pieghe chevron e “a scatola” (box fold)





Semplice modello in forwarding da Move (software licenses by courtesy of Petroleum Expert)

BUCKLING

# Fault-related or thrust-related folds

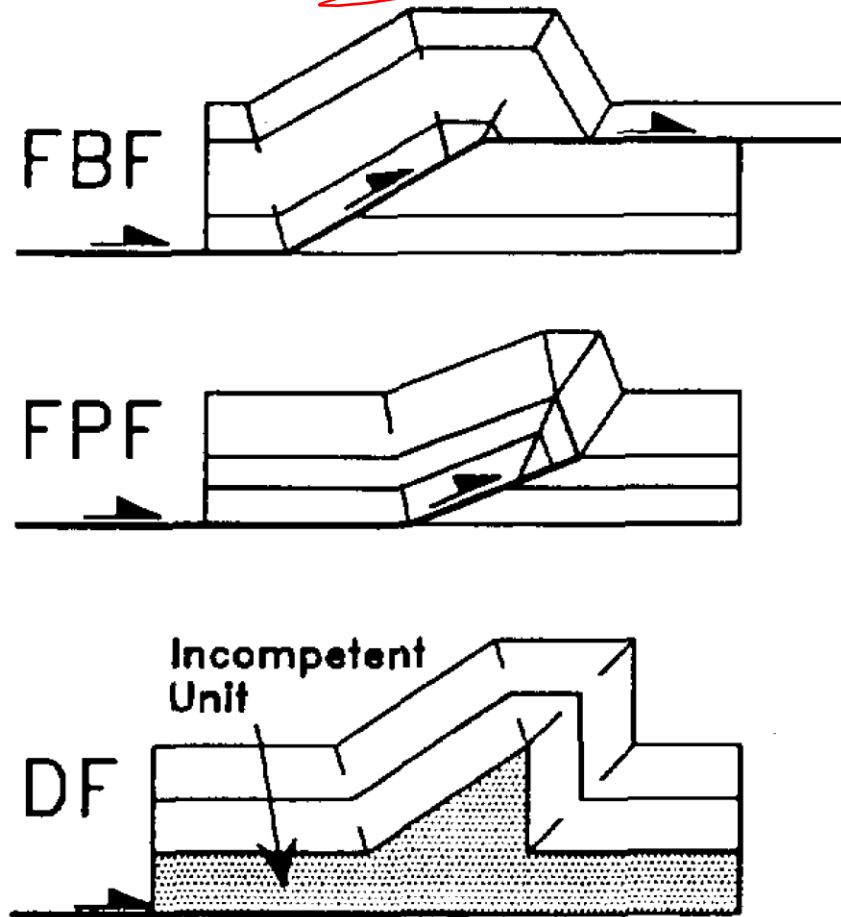


Fig. 1. Three major types of thrust-related folds in fold-and-thrust belts: fault-bend fold (FBF), fault-propagation fold (FPF), and detachment fold (DF).

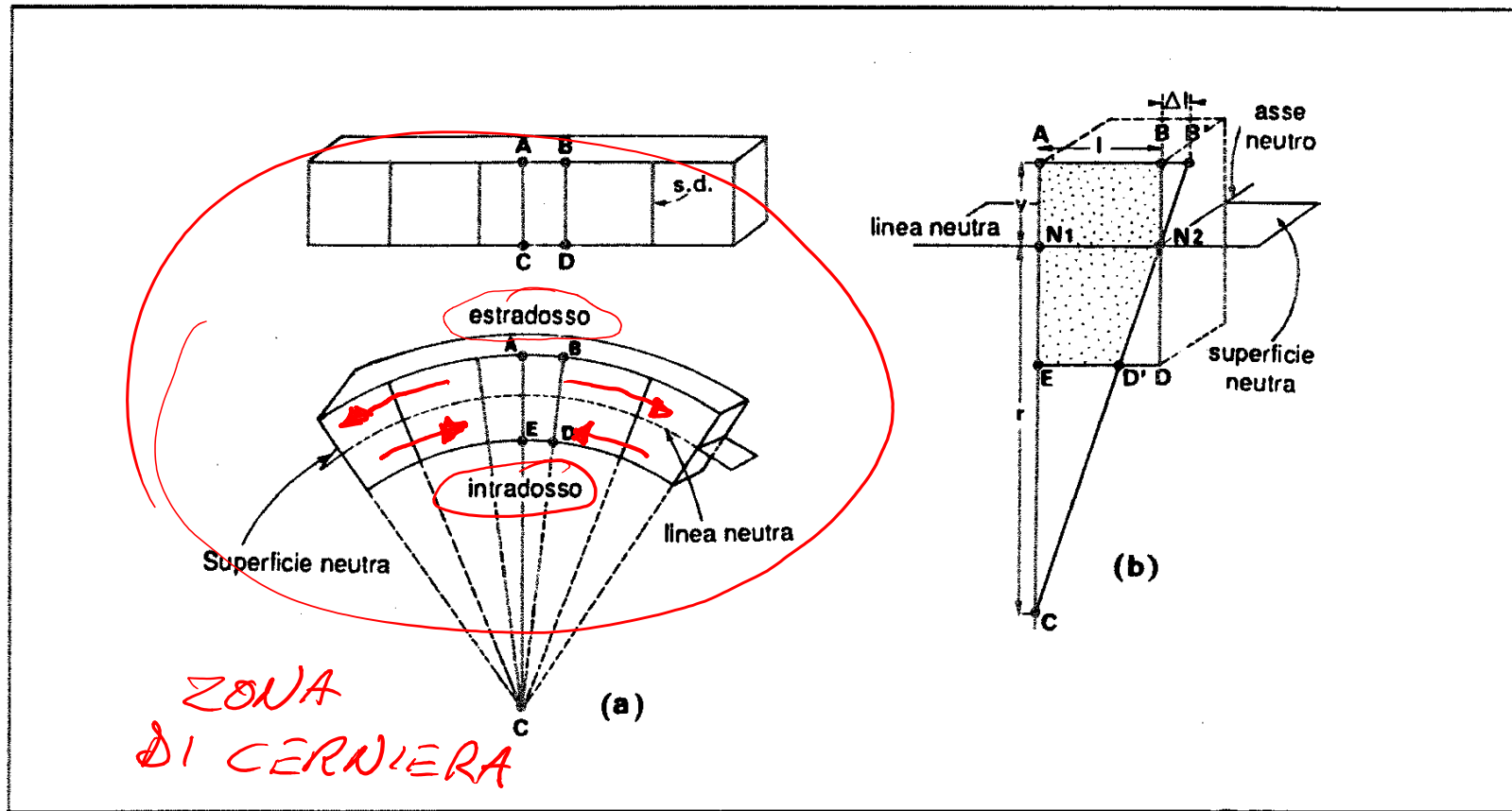


Figura 8.11. Sforzi in una trave in flessione pura (trave in appoggio libero).



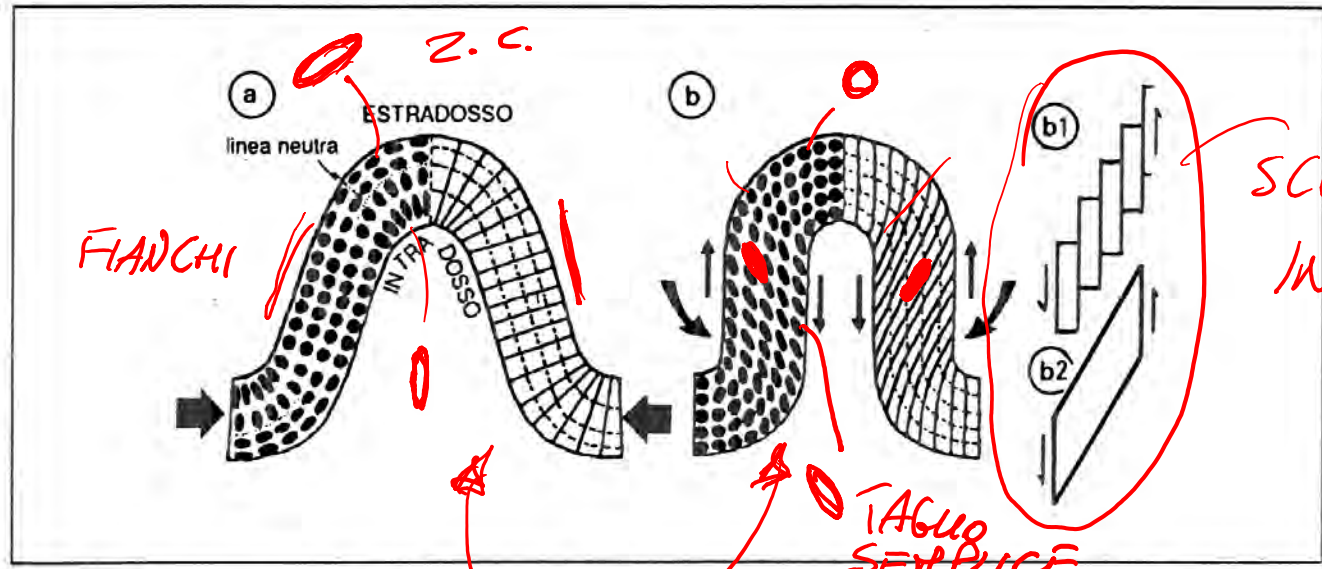
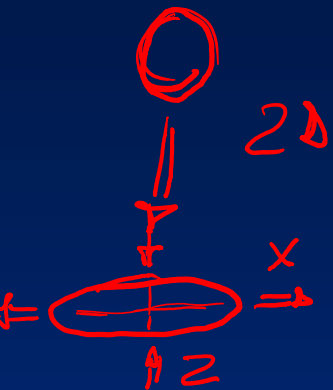


Figura 8.13. Piega monostrato a deformazione di cerniera (a) e dei fianchi (b) con taglio discontinuo (b<sub>1</sub>) o continuo (b<sub>2</sub>).

I DUE SISTEMI SONO CO-PRESENTI

SCORRIMENTO INTERSTRATALE

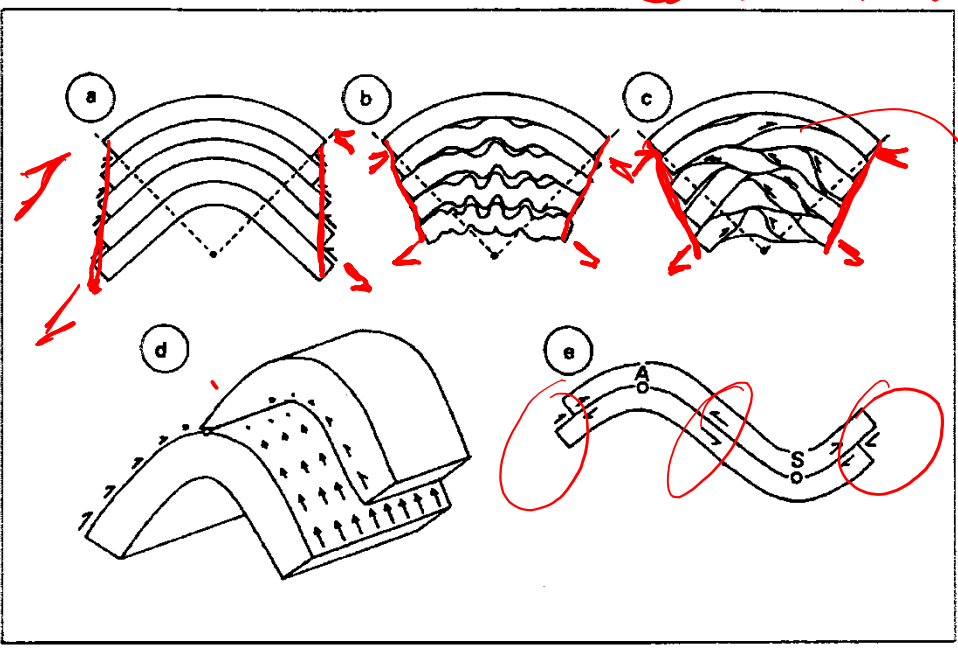


Figura 8.17. Piegamento isopaco di un pacco di strati: a) modello ideale ed accomodamento della deformazione per micropiegamenti b) o per tagli embriciati c), d) ed e) mostrano lo scorrimento banco su banco.

Da Mercier & Vergely, 1995



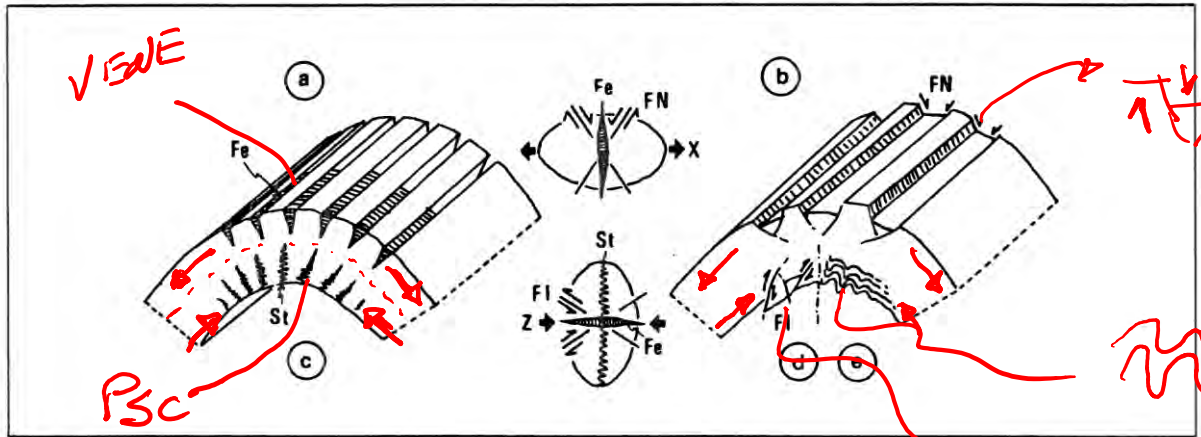


Figura 8.15. Strutture associate alle pieghe a deformazione in cerniera; a) squarci da trazione ( $Fe$ ), b) faglie normali ( $FN$ ), c) stiloliti ( $St$ ), d) faglie inverse ( $FI$ ) ed e) micropiegamenti; al centro modalità di associazione di diverse strutture.

Da Mercier & Vergely, 1996

FAGLIE NORMALI

PIEGHE 2° ORDINE

FAGLIE INVERSE

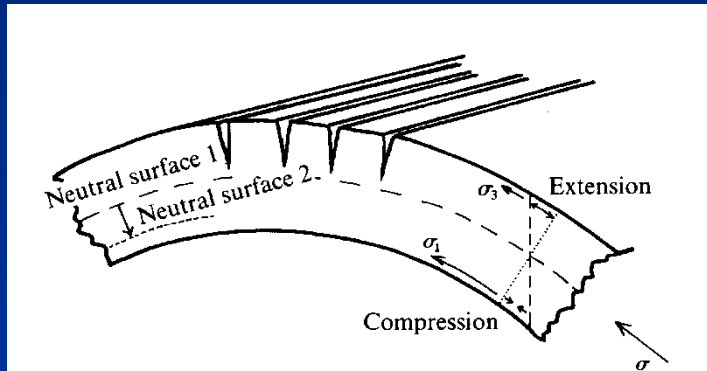
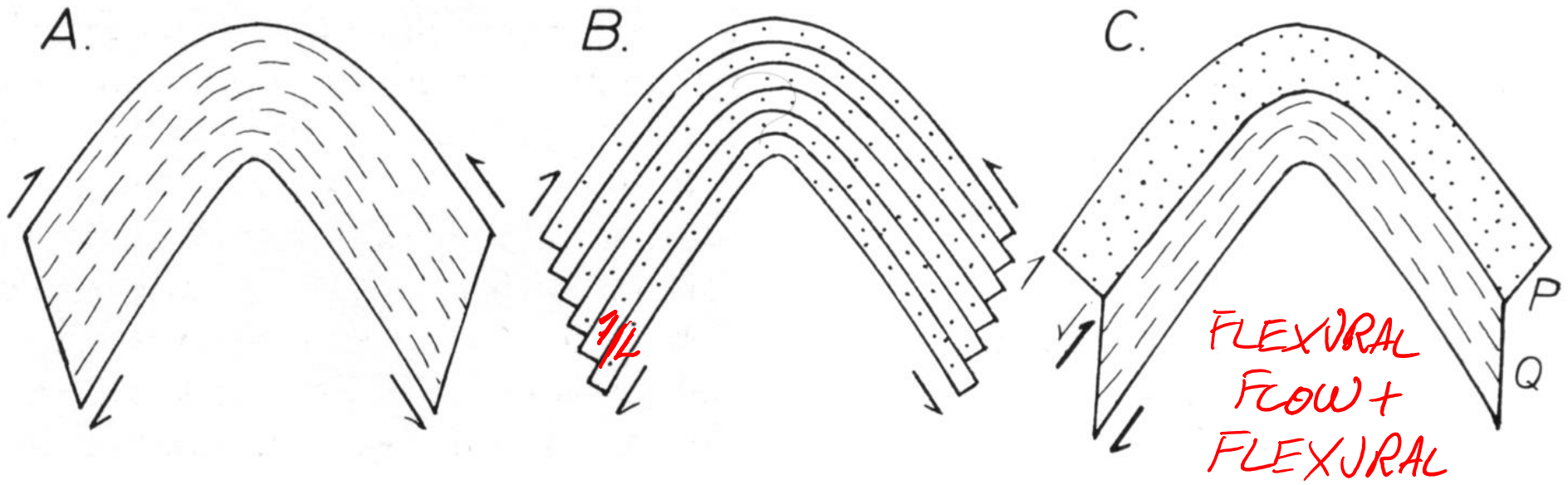


Fig. 14.28. Tangential, longitudinal strain in a thick unit so reduces the stress above the neutral surface that the erstwhile stress  $\sigma_1$  becomes  $\sigma_3$  and dilation fractures develop. The fractures reduce the effective thickness of the unit so that the neutral surface (and the fractures) migrate downwards.

Da Price and Cosgrove, 1990



Da Ramsay & Huber, 1987

*Flexural flow*

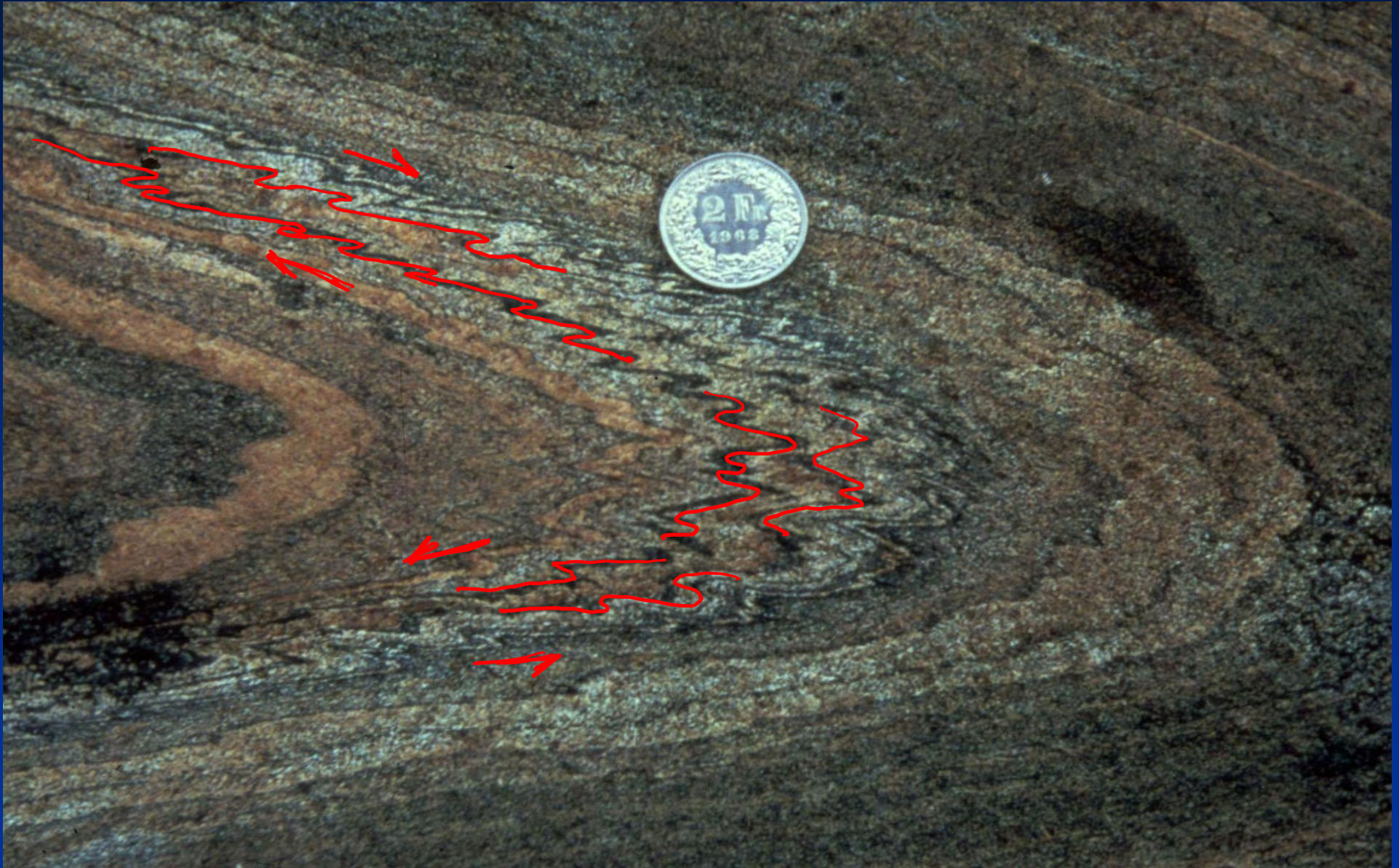
*Flexural slip*

*Misto*

*SLIP*

*SCORRIMENTO INTERSIFAMIA*  
*SCORRIMENTO LUNGO I FIANCHI*  
*(FLUSSO)*

# Pieghe parassite



Da Ramsay & Huber, 1987

T.Dx

Pieghe di secondo ordine  
Pieghe parassite

→

T.Sx

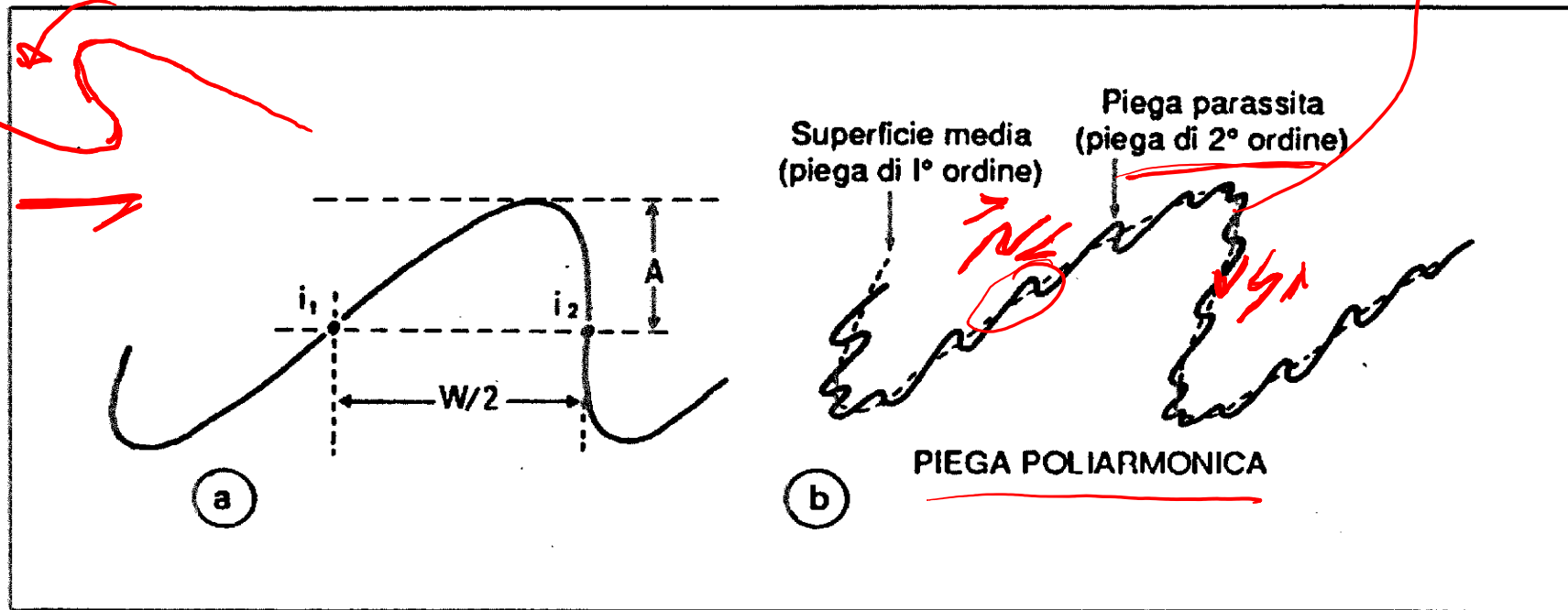
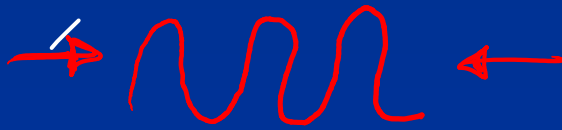



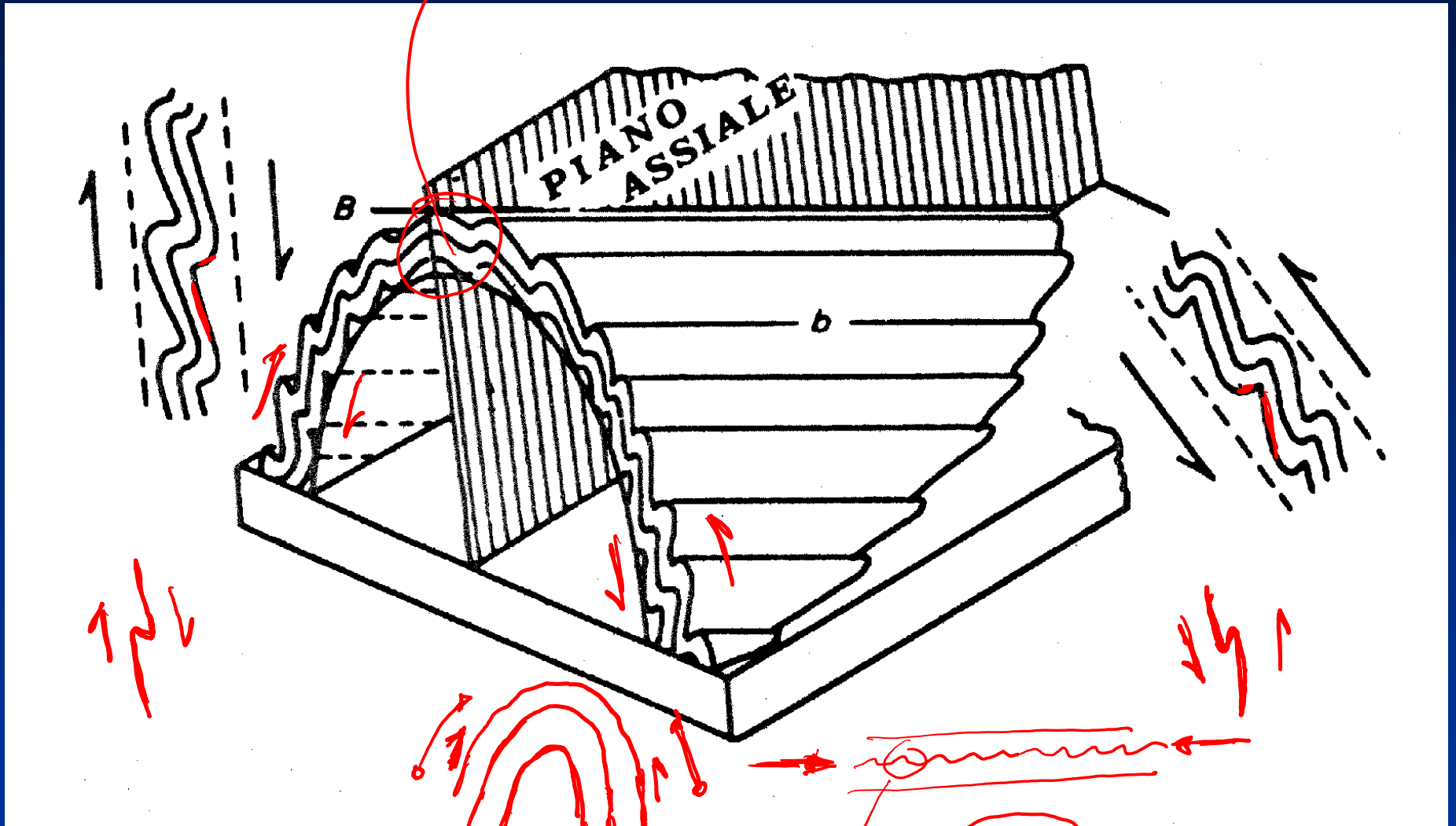
Figura 8.2. a) Ampiezza ( $A$ ) e semi-lunghezza d'onda ( $W/2$ ) di una piega; b) superficie media e pieghe parassite di una piega poliarmonica.

Da Mercier & Vergely, 1996

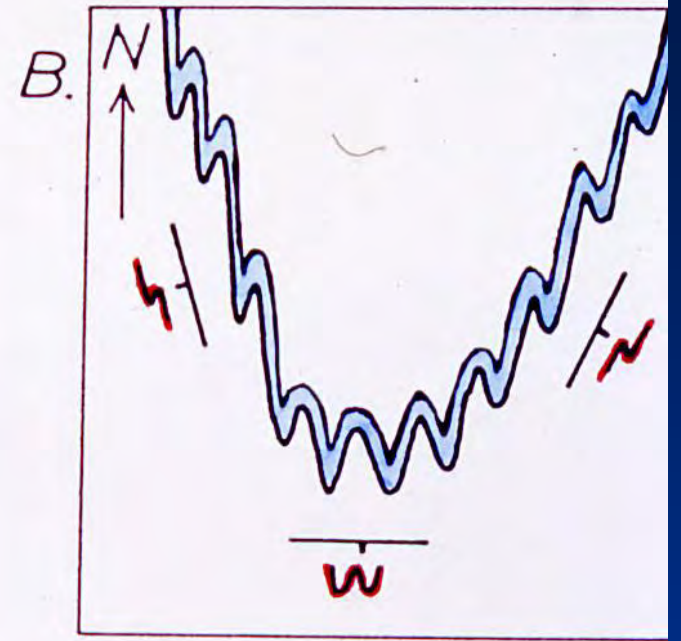
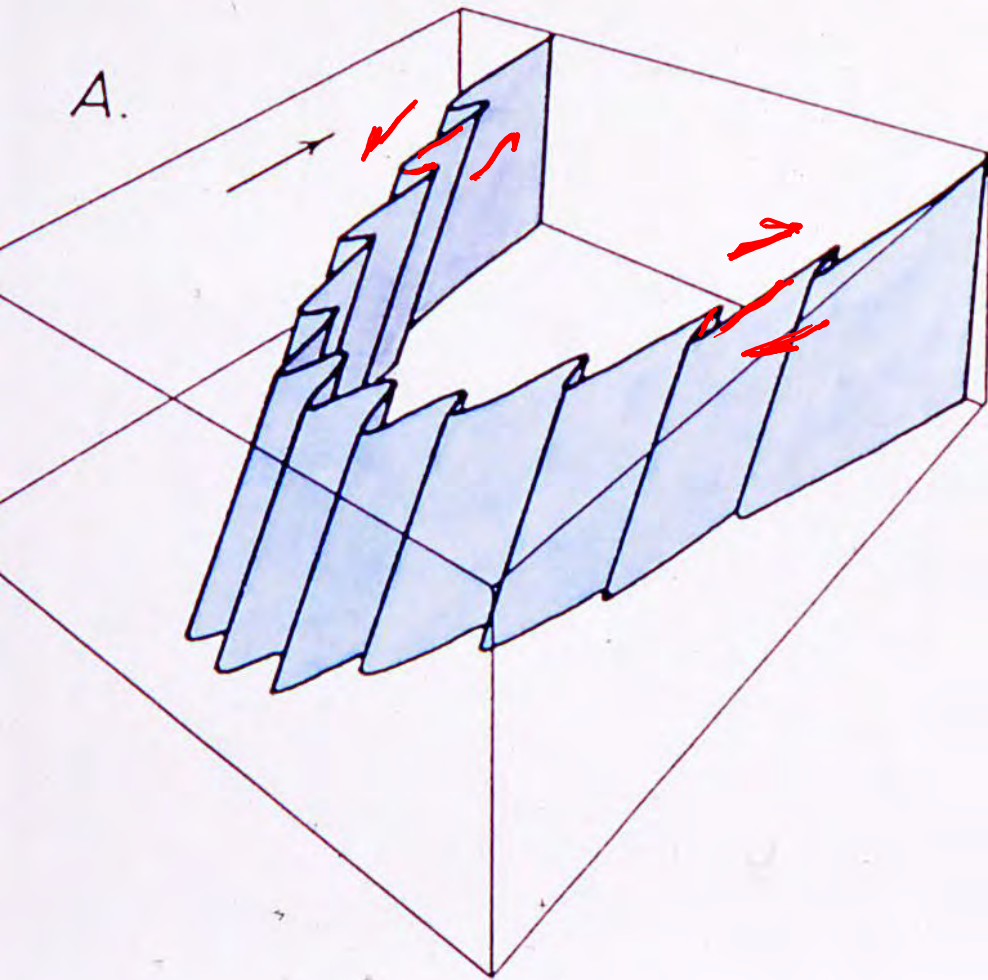
FIANCO LUNGO  
FIANCO CORTO

→  ←  
PIEGHE SIMMETRICHE

→  ←  
F.L. F.C. T. SEMPRE CE  
ASIMM.



Da Boccaletti & Tortorici, 1987



Da Ramsay & Huber, 1987

Pieghe parassite

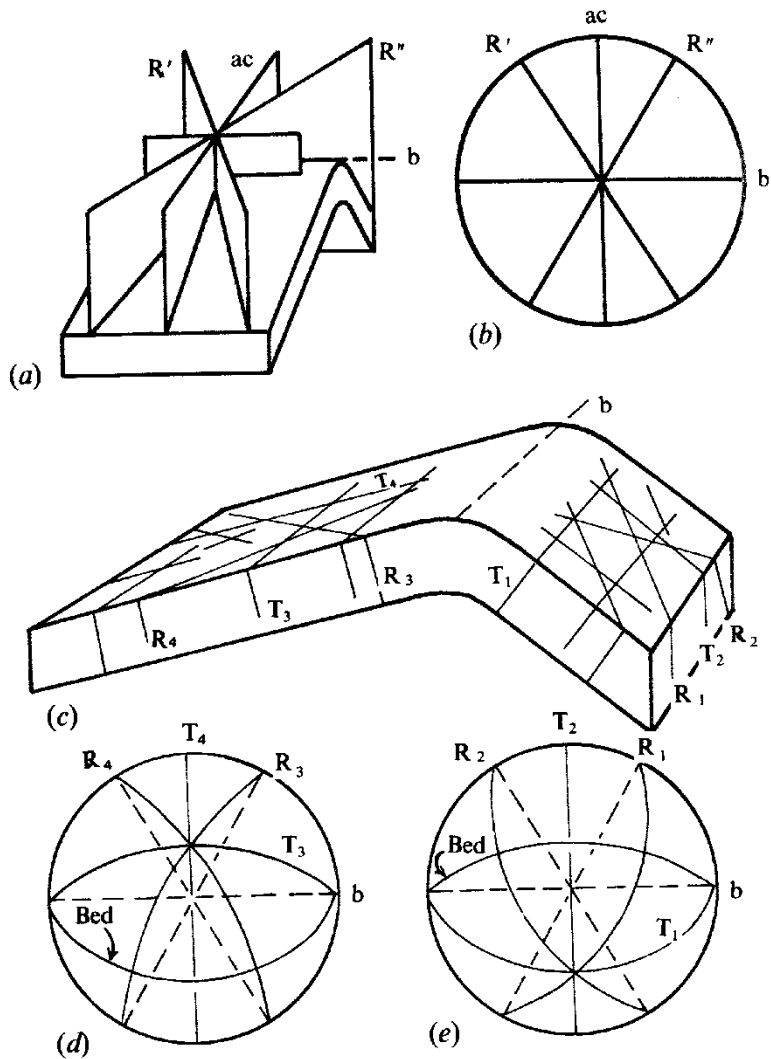


Fig. 14.20. (a) Ideal relationship of master joints to a small fold. (b) Stereographic plot of fractures shown in (a). (c) Trends of minor fractures in a folded competent unit. (d) and (e) Stereographic plots of fractures in the two limbs. R and T are shear and extension fractures respectively. (All after Price, 1966.)

Da Price &  
Cosgrove,  
1990

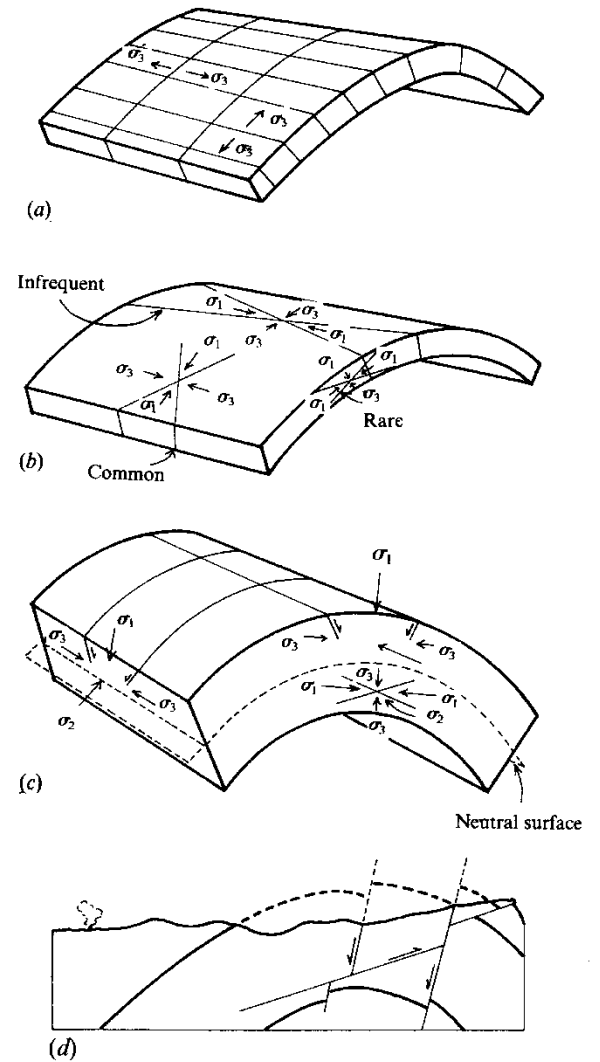
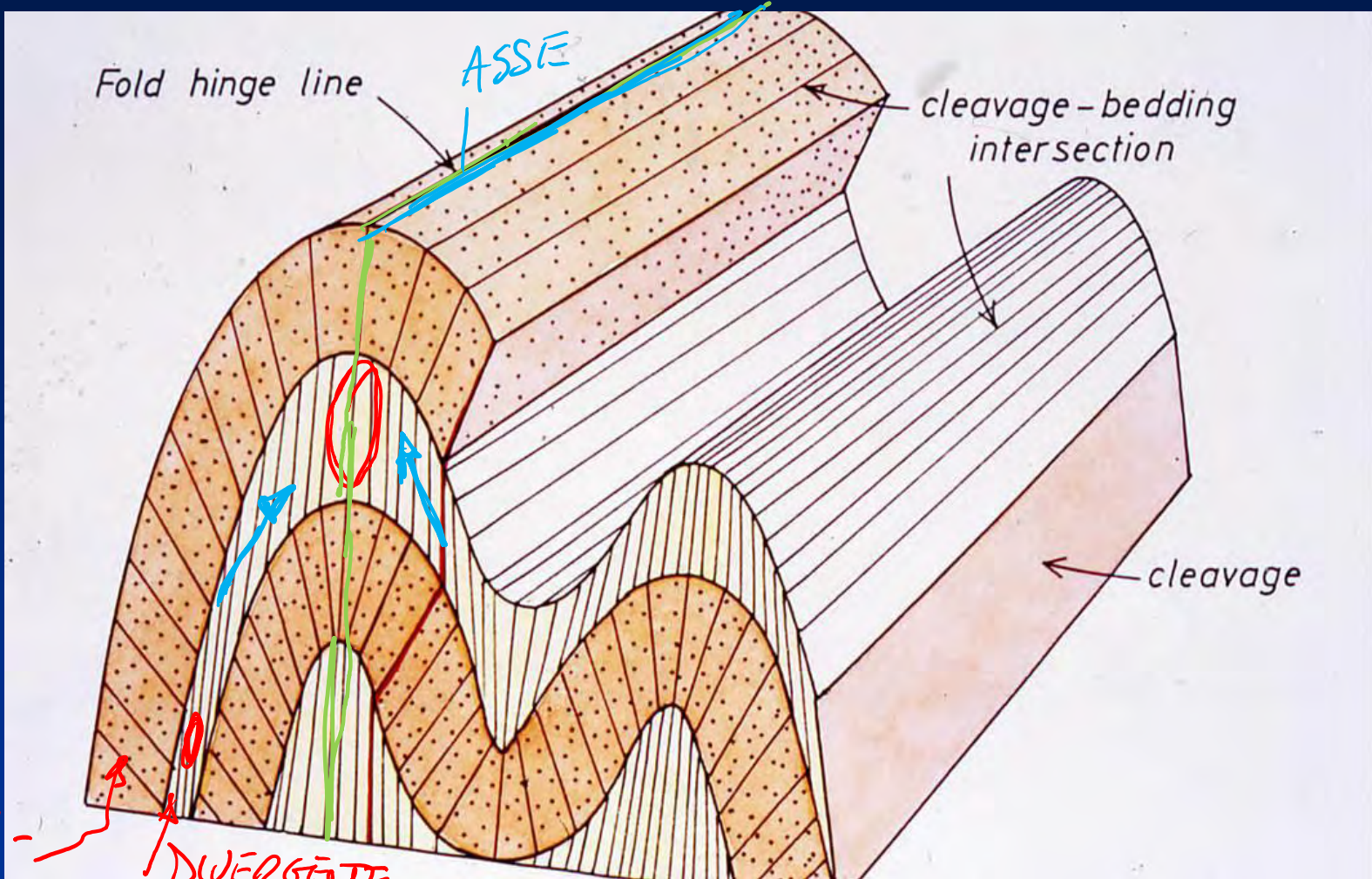


Fig. 14.21. (a) Typical relationship of dilational fractures to a fold. The orientation of the least principal stress with the sets (of different ages) is also shown. (b) Typical orientation of shear fractures in a thin, bedded layer, with associated stress systems. (c) Typical orientation of normal faults and thrusts which may develop in a thick, flexured unit. (See Fig. 14.22 for relationship between shear fractures and stresses.) (d) Interaction of thrusts and normal faults.



NO! ISO GONIE

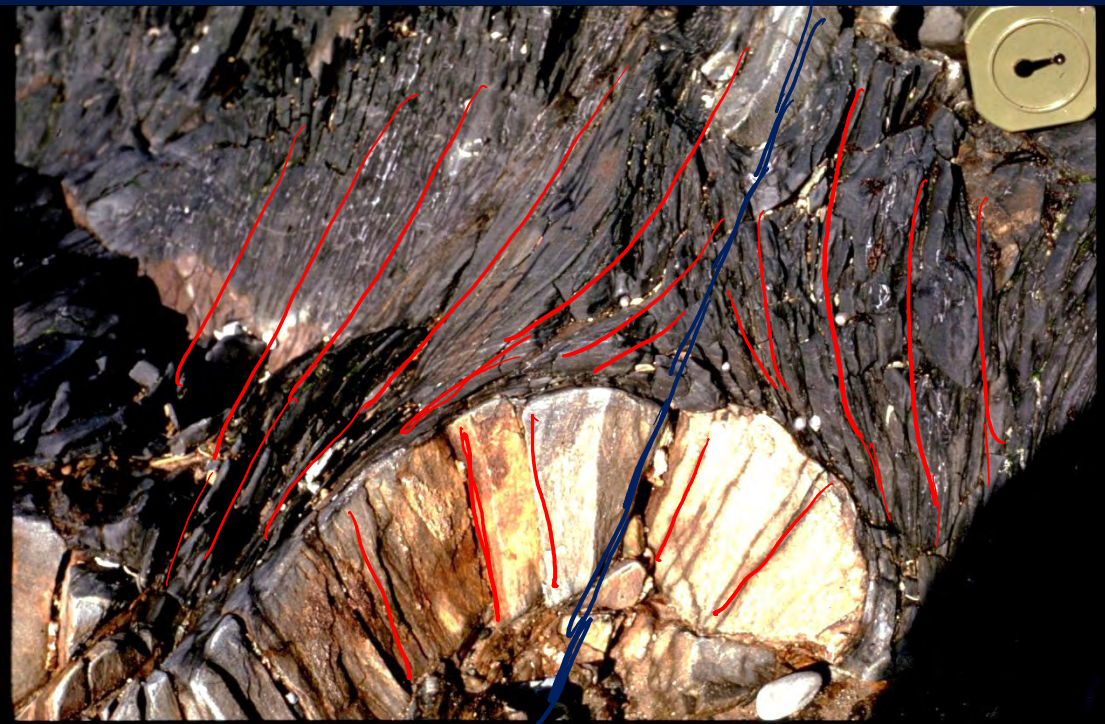


CONVERGENTE

DIVERGENTE

Da Ramsay & Huber, 1987

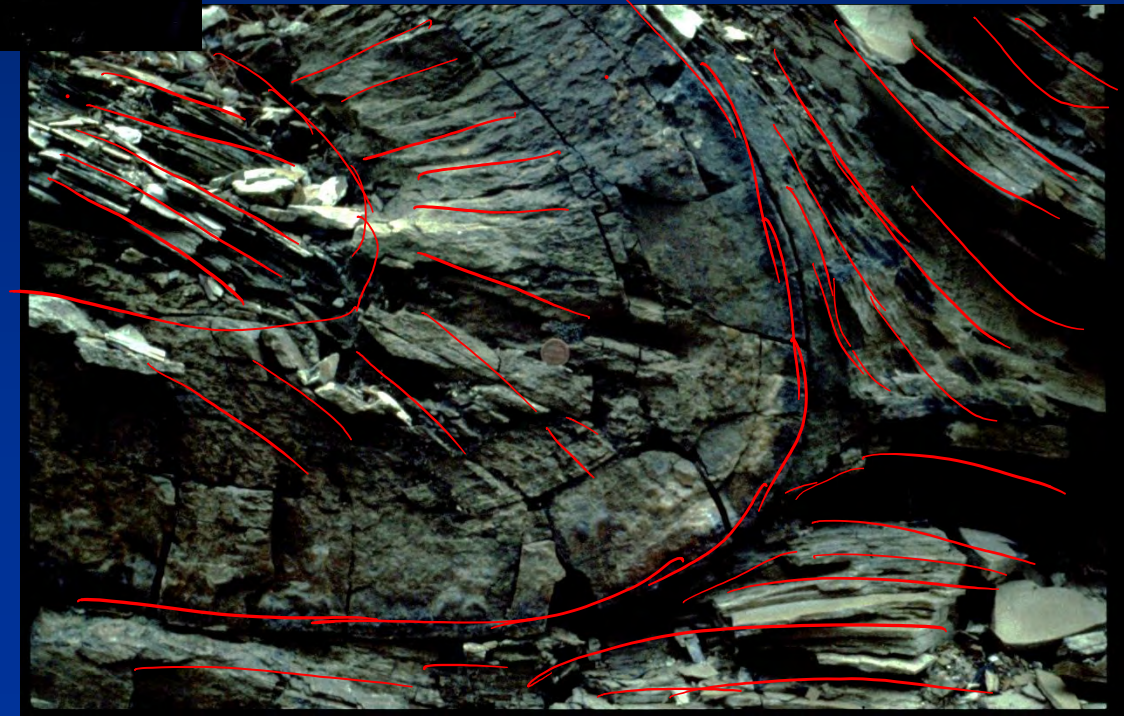
DI CUVAGGIO/FOLIAZIONE  
PIANO ASSIALE



Da Ramsay & Huber, 1987

Da Ramsay & Huber, 1987

P.A.



Foliazione di piano assiale: tipica dei regimi duttili e delle pieghe simili



Da Ramsay & Huber, 1987

## Pieghe simili

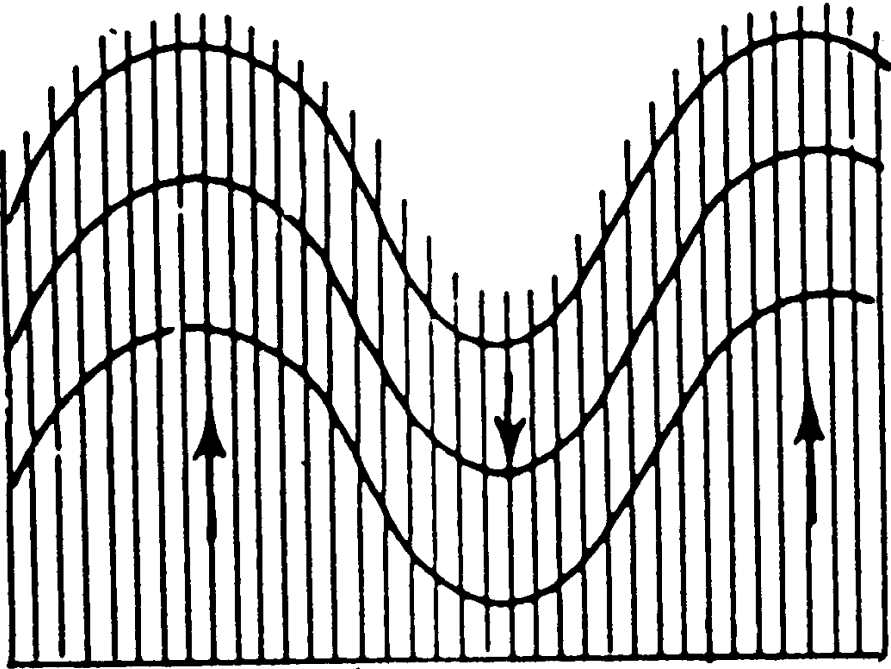
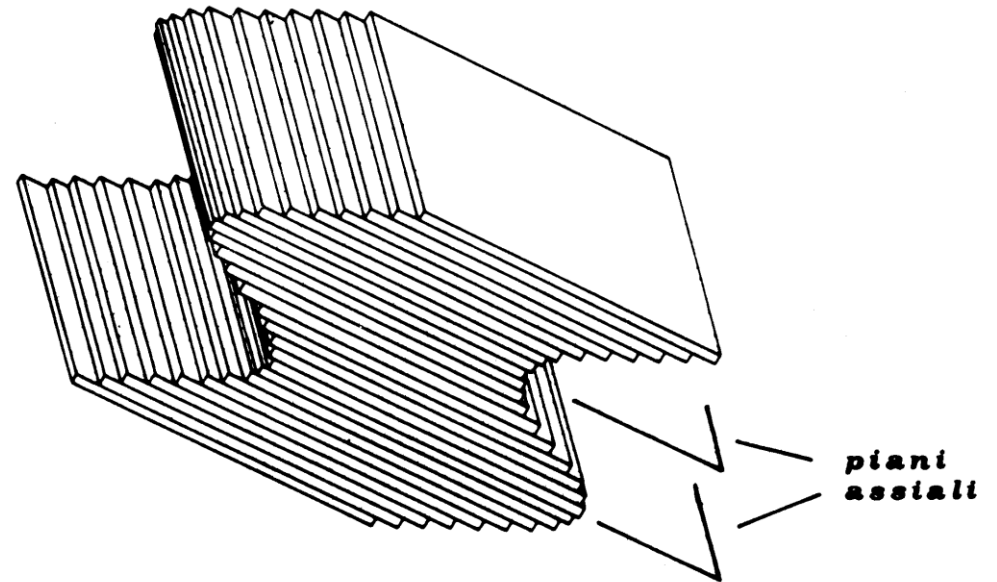
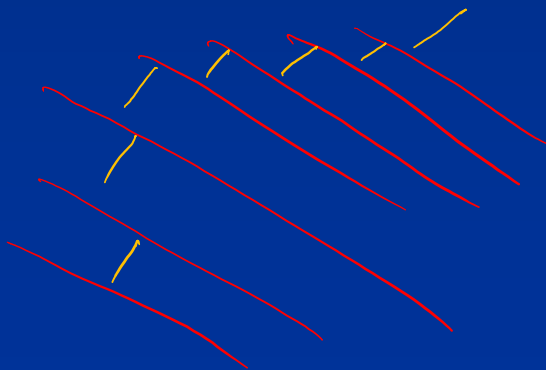
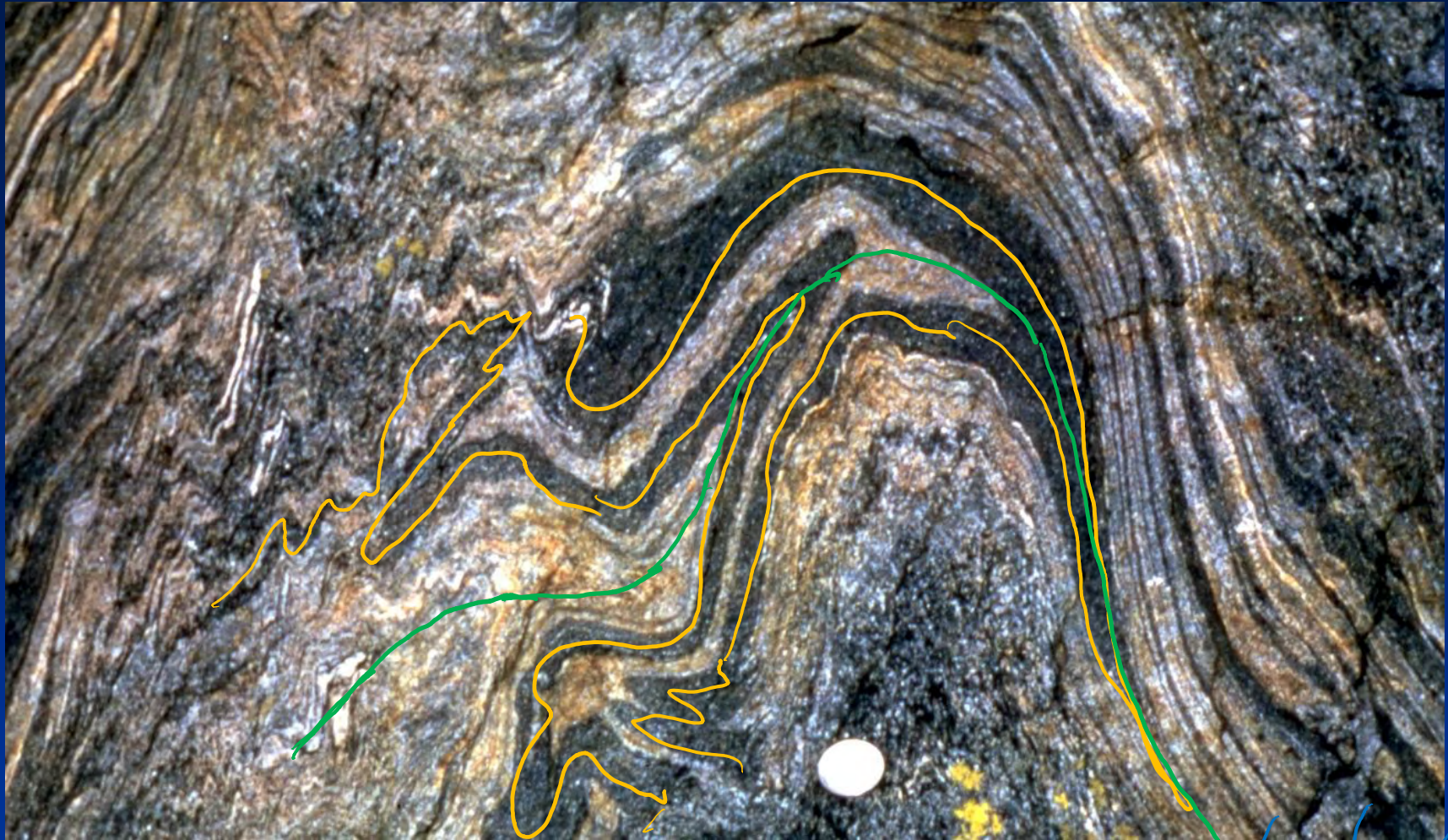


Fig. 68 - Esempio di pieghe simili  
(da HILLS, 1963).

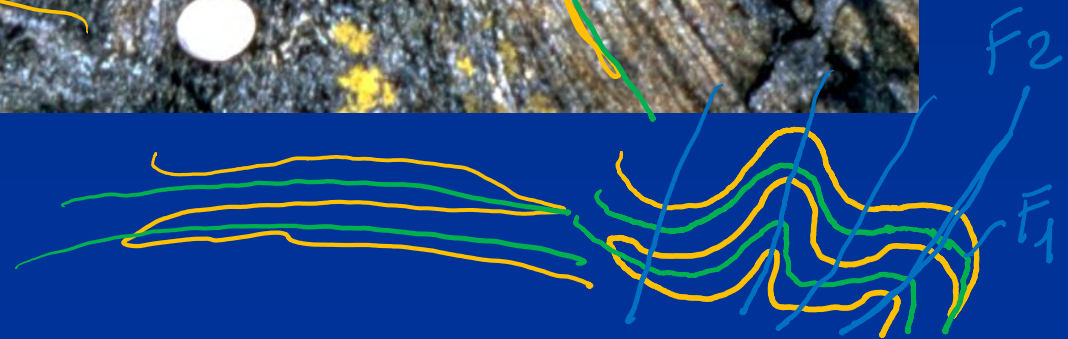
Da Boccaletti & Tortorici, 1987

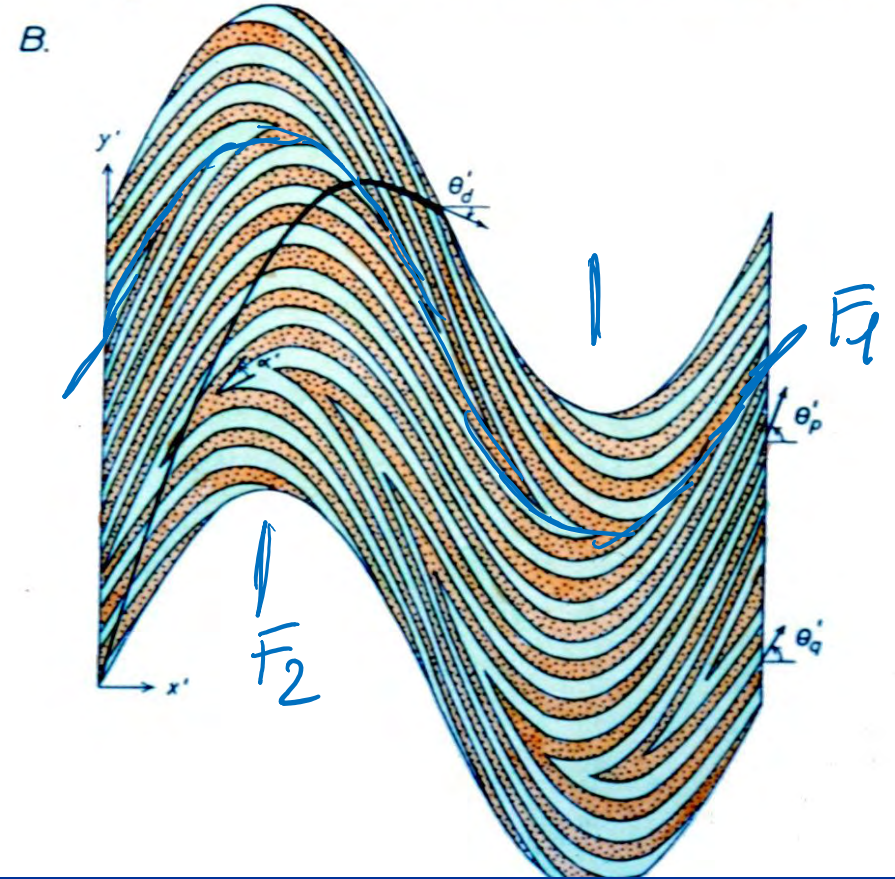
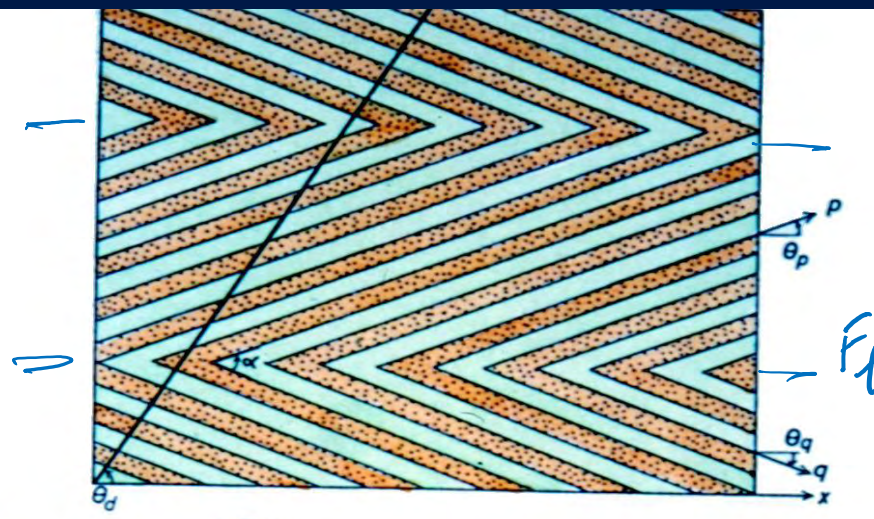


# Pieghe ripiegate “strutture di interferenza”

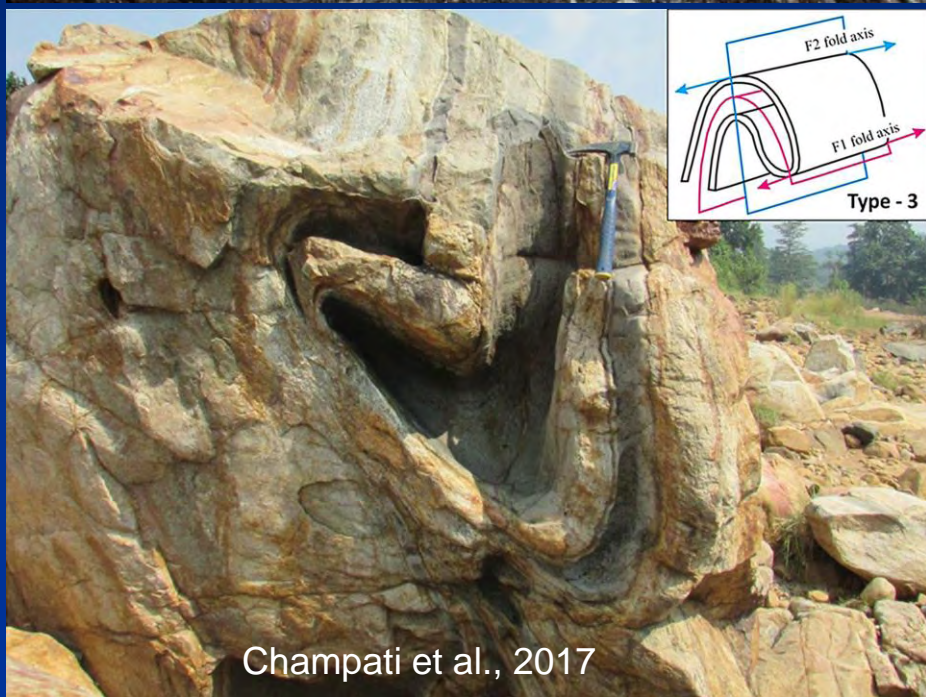
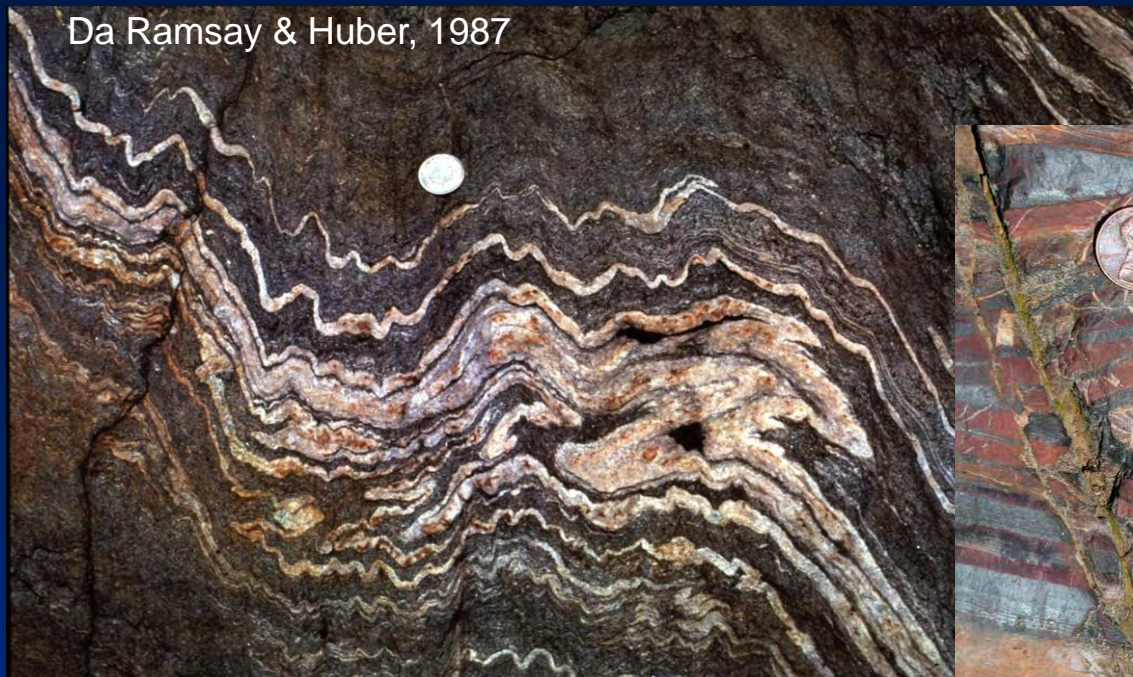


Da Ramsay & Huber, 1987

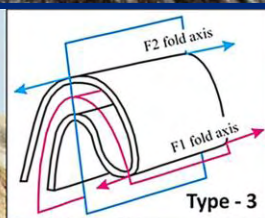




Da Ramsay & Huber, 1987



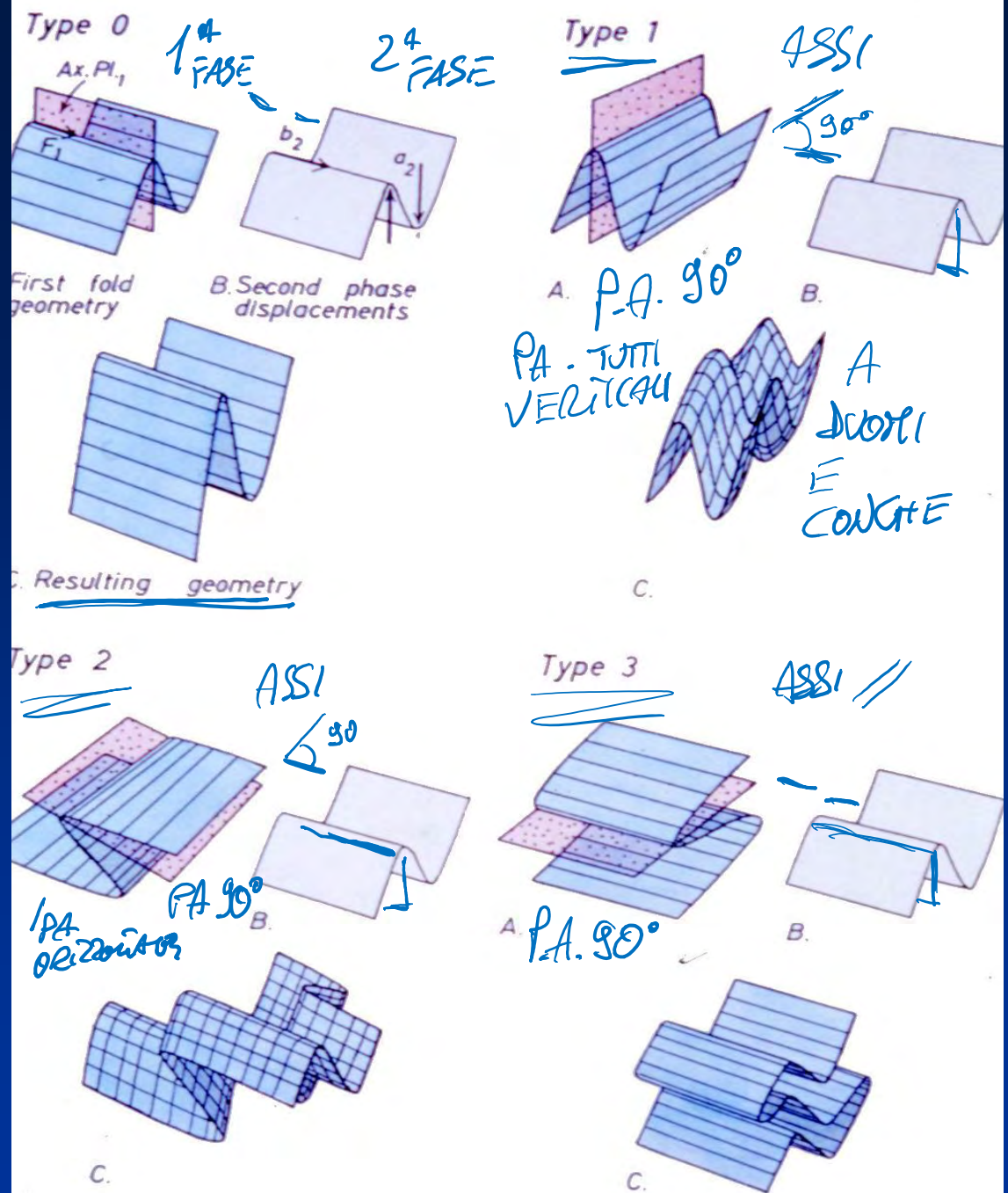
Champati et al., 2017



Da Fossen, 2010

A DUOMI E  
CONCREU

# Pieghe ripiegate "strutture di interferenza"







Da Ramsay & Huber, 1987

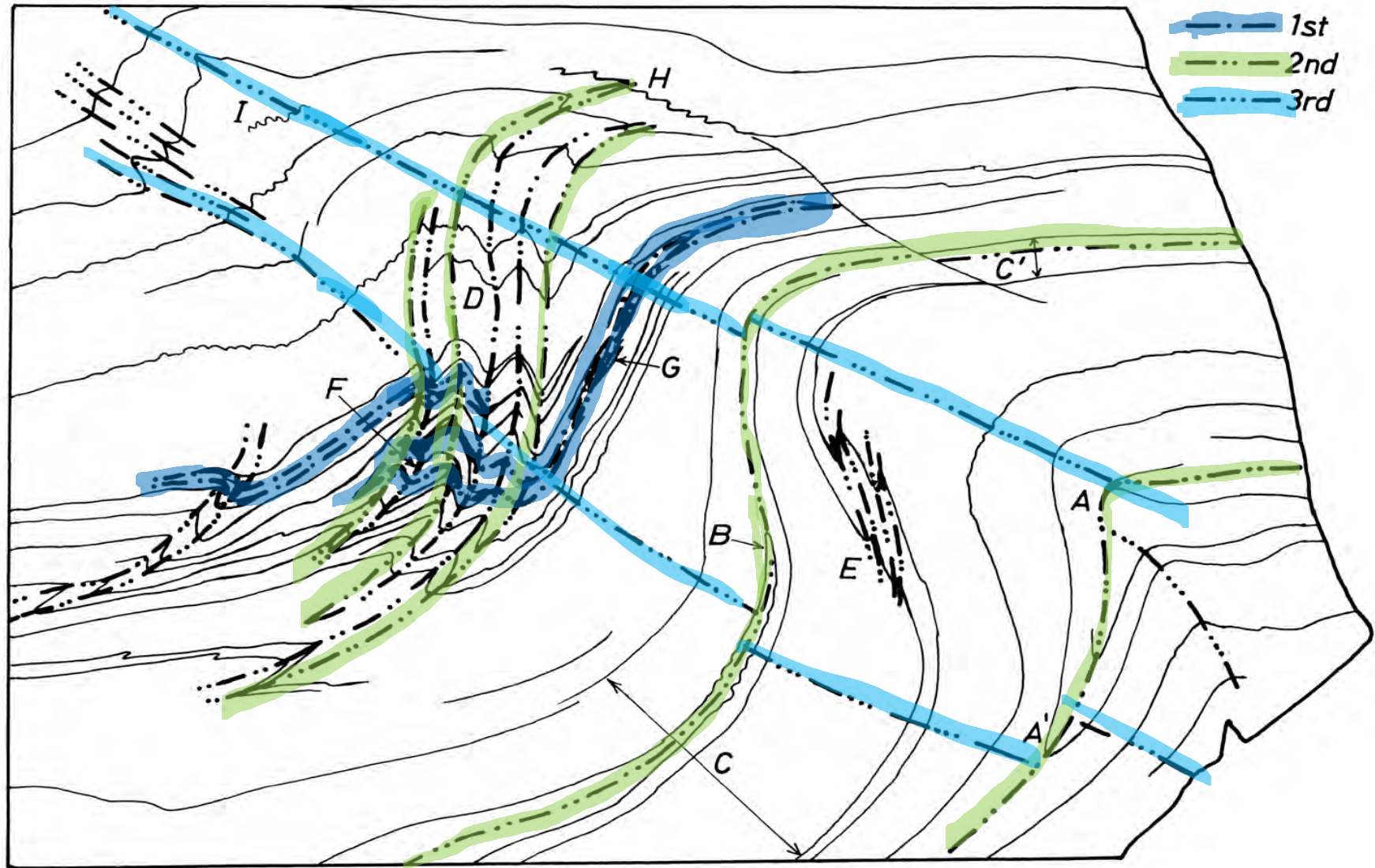


Figure 22.14. Answer 22.4 showing the positions of the axial traces of three sets of folds. For further details see discussion in text.